

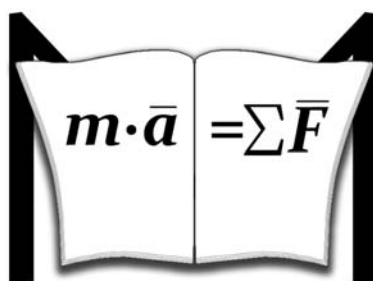
МЕЖГОСУДАРСТВЕННОЕ ОБРАЗОВАТЕЛЬНОЕ УЧРЕЖДЕНИЕ
ВЫСШЕГО ОБРАЗОВАНИЯ
«БЕЛОРУССКО-РОССИЙСКИЙ УНИВЕРСИТЕТ»

Кафедра «Технологии металлов»

СОПРОТИВЛЕНИЕ МАТЕРИАЛОВ И ТЕОРИЯ УПРУГОСТИ

*Методические рекомендации к практическим занятиям
для студентов специальности 1-70 03 01 «Автомобильные дороги»
очной и заочной форм обучения*

Часть 2



Могилев 2020

УДК 539.3/6
ББК 30.121
С64

Рекомендовано к изданию
учебно-методическим управлением
Белорусско-Российского университета

Одобрено кафедрой «Технологии металлов» «30» июня 2020 г.,
протокол № 12

Составители: канд. техн. наук, доц. А. А. Катькало;
канд. техн. наук, доц. И. А. Леонович

Рецензент канд. техн. наук, доц. А. Е. Науменко

Методические рекомендации составлены в соответствии с рабочей программой дисциплины «Соппротивление материалов и теория упругости» для студентов специальности 1-70 03 01 «Автомобильные дороги». Содержат материал для проведения практических занятий в весеннем семестре по разделу «Соппротивление материалов».

Учебно-методическое издание

СОПРОТИВЛЕНИЕ МАТЕРИАЛОВ И ТЕОРИЯ УПРУГОСТИ

Часть 2

Ответственный за выпуск	Д. И. Якубович
Корректор	А. А. Подошевко
Компьютерная верстка	Н. П. Полевничая

Подписано в печать . Формат 60×84/16. Бумага офсетная. Гарнитура Таймс.
Печать трафаретная. Усл. печ. л. . Уч.-изд. л. . Тираж 115 экз. Заказ № .

Издатель и полиграфическое исполнение:
Межгосударственное образовательное учреждение высшего образования
«Белорусско-Российский университет».

Свидетельство о государственной регистрации издателя,
изготовителя, распространителя печатных изданий
№ 1/156 от 07.03.2019.

Пр-т Мира, 43, 212022, Могилев.

© Белорусско-Российский
университет, 2020

Содержание

Введение.....	4
1 Расчет простейших статически неопределимых стержневых систем.....	5
2 Расчет вала круглого поперечного сечения на прочность при совместном действии изгиба и кручения.....	7
3 Расчет несущей способности колонны. Построение ядра сечения при внецентренном приложении продольной силы	10
4 Расчет стержней с учетом пластических свойств материала.....	17
5 Определение перемещений с использованием интегралов Мора.....	19
6 Определение перемещений способом Верещагина.....	22
7 Расчет балок в упругопластической стадии сопротивления материалов.....	23
8 Расчет толстостенных труб и тонкостенных стержней.....	26
9 Расчет при продольном ударе.....	35
10 Расчет при поперечном ударе.....	36
11 Расчеты сжатых стержней на устойчивость: проверочный, проектировочный, определение несущей способности.....	38
12 Расчет составного сечения продольно сжатого стержня.....	44
Список литературы.....	46

Введение

Цель преподавания дисциплины – сформировать у студентов основные знания и умения по расчету типового элемента строительных конструкций (бруса) на прочность, жесткость и устойчивость, по выбору конструкционных материалов и форм поперечных сечений, обеспечивающих требуемые показатели надежности, безопасности и экономичности сооружений.

Студенты специальности 1-70 03 01 «Автомобильные дороги» изучают дисциплину «Сопrotивление материалов и теория упругости» на протяжении 3-го и 4-го семестров.

По каждой теме практических занятий в методических рекомендациях приводится один или более примеров с подробным решением. Далее следуют вопросы для самопроверки в форме тестовых заданий.

Методические рекомендации помогут сформировать у студентов нижеперечисленные компетенции.

АК-1. Уметь применять базовые научно-теоретические знания для решения теоретических и практических задач.

АК-4. Уметь работать самостоятельно.

АК-9. Уметь учиться, повышать свою квалификацию в течение всей жизни.

ПК-14. Определять актуальные направления научных исследований в области строительства с целью внедрения в практику эффективных строительных материалов, конструкций и технологий.

ПК-22. Формулировать и реализовывать мероприятия по повышению качества строительной продукции, снижению энергоемкости и материальных затрат при выполнении строительно-монтажных работ.

ПК-26. Работать с научной, технической, юридической литературой в области промышленного и гражданского строительства.

Перед практическим занятием студентам предлагается изучить материал темы по конспекту лекций и рекомендуемой литературе [1–8], разобрать решение приведенных типовых примеров и проработать материал для самопроверки.

1 Расчет простейших статически неопределимых стержневых систем

Пример – Решить один раз статически неопределимую балку (рисунок 1.1) методом сил. Построить эпюры поперечных сил и изгибающих моментов.

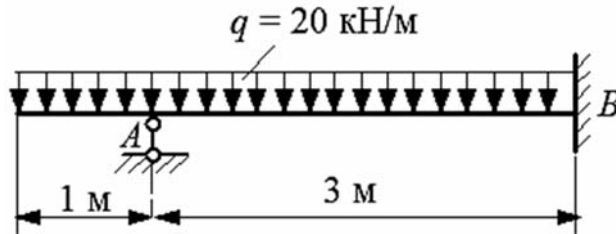


Рисунок 1.1

Решение

Заданная балка один раз статически неопределима, т. е. она имеет одну лишнюю связь. Выбираем основную систему, отбрасывая одну связь, например, опору A (рисунок 1.2, a).

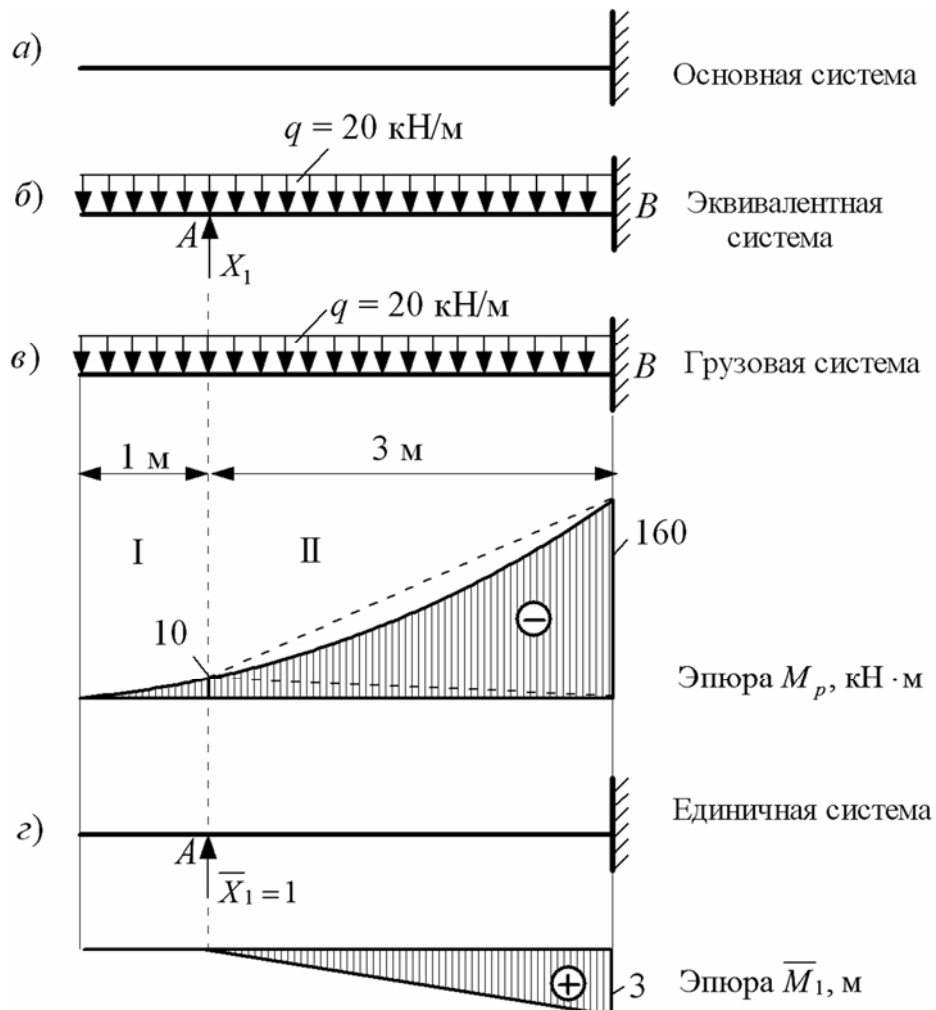


Рисунок 1.2

Составляем эквивалентную систему (рисунок 1.2, б).

Каноническое уравнение метода сил один раз статически неопределимой системы имеет вид:

$$\delta_{11} \cdot X_1 + \Delta_{1p} = 0.$$

Для определения коэффициентов канонического уравнения строим эпюры изгибающих моментов в грузовой (рисунок 1.2, в) и единичной (рисунок 1.2, з) системах.

Определяем коэффициент при неизвестной силе X_1 перемножением эпюры M_1 на M_1 :

$$\delta_{11} = \sum \frac{M_1 y_c}{EI} = \frac{1}{EI} \left(\frac{1}{2} \cdot 3 \cdot 3 \cdot \frac{2}{3} \cdot 3 \right) = \frac{9}{EI} \text{ м}^3.$$

Определяем свободный коэффициент Δ_{1p} перемножением эпюры M_1 на эпюру M_p :

$$\Delta_{1p} = \sum \frac{M_p y_c}{EI} = \frac{1}{EI} \left(-\frac{1}{2} \cdot 10 \cdot 3 \cdot \frac{1}{3} \cdot 3 - \frac{1}{2} \cdot 160 \cdot 3 \cdot \frac{2}{3} \cdot 3 + \frac{20 \cdot 3^3}{12} \cdot \frac{1}{2} \cdot 3 \right) = -\frac{427,5}{EI} \text{ кН} \cdot \text{м}^3.$$

Решаем каноническое уравнение:

$$\frac{9}{EI} \cdot X_1 - \frac{427,5}{EI} = 0; \quad X_1 = R_A = 47,5 \text{ кН}.$$

После определения реакции R_A можно построить эпюры поперечных сил и изгибающих моментов обычным образом (рисунок 1.3).

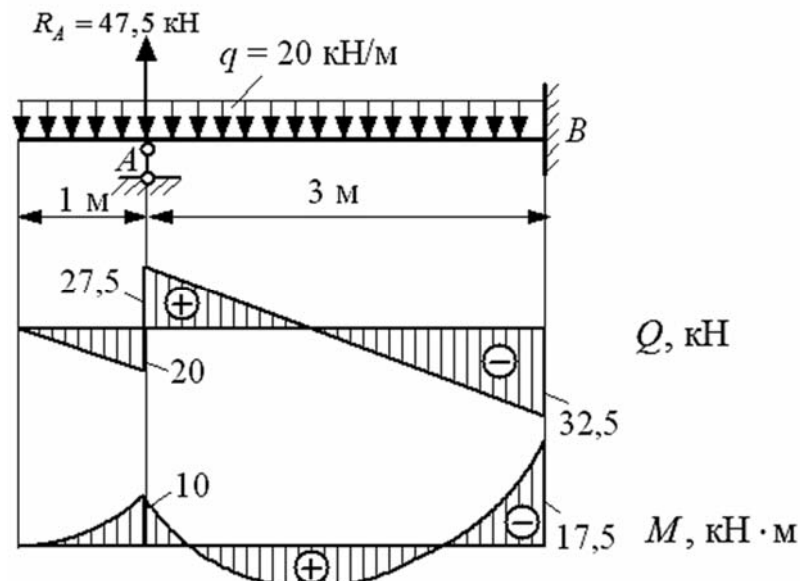


Рисунок 1.3

2 Расчет вала круглого поперечного сечения на прочность при совместном действии изгиба и кручения

Пример – На вал круглого сплошного сечения диаметром $d = 68$ мм насажены шестерня средним диаметром $D_1 = 0,23$ м и шкив ременной передачи диаметром $D_2 = 0,39$ м и весом $G = 600$ Н (рисунок 2.1, а). Вал делает 660 об/мин и передает мощность 40 кВт. Расчетное сопротивление материала вала $R = 80$ МПа. Проверить прочность вала в опасном сечении по четвертой теории прочности.

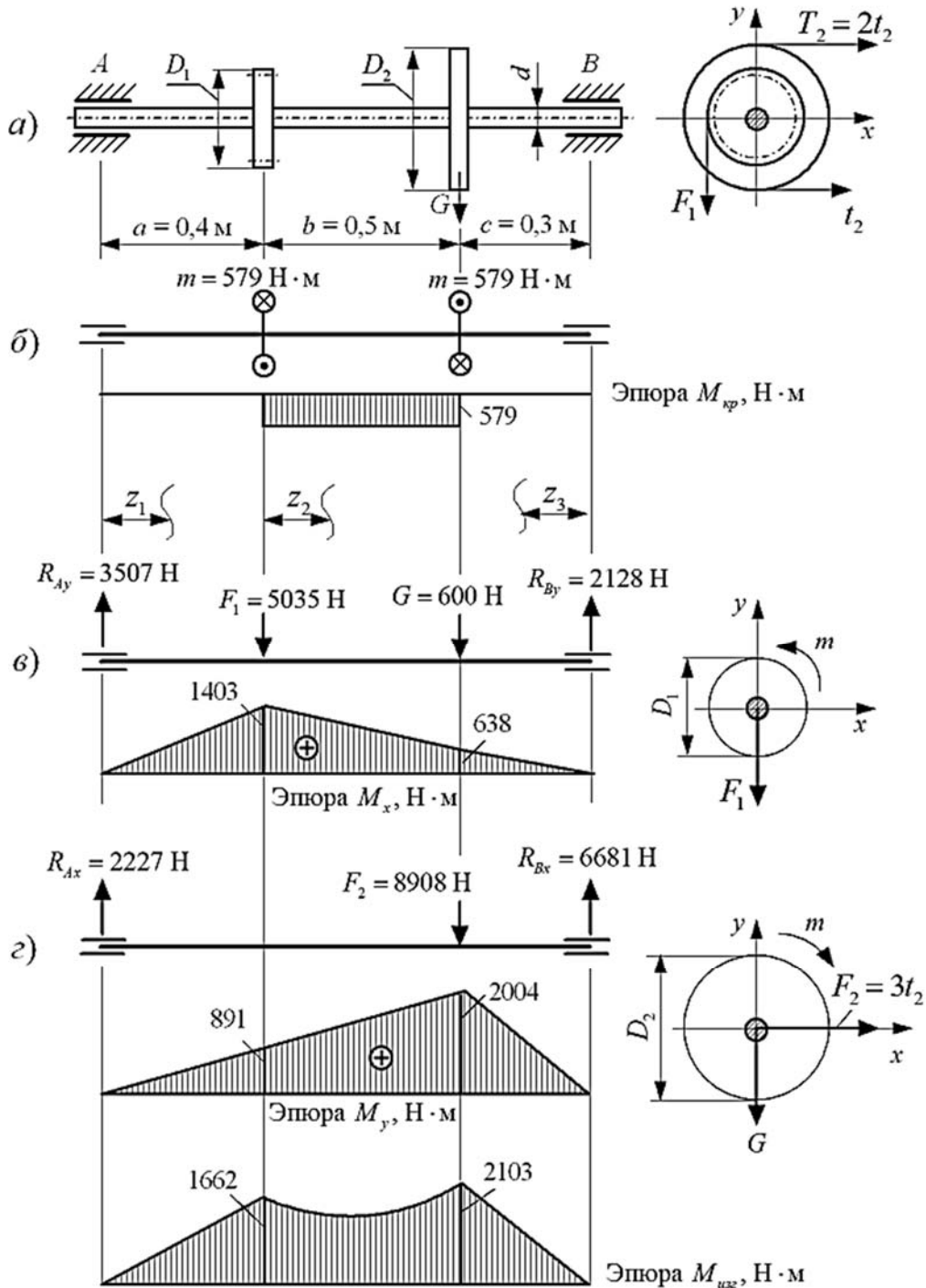


Рисунок 2.1

Решение

Внешние крутящие моменты, передаваемые валом через шестерню и шкив,

$$m = \frac{N \cdot 30}{\pi \cdot n} = \frac{40000 \cdot 30}{3,14 \cdot 660} = 579 \text{ Н} \cdot \text{м}.$$

Схема действия крутящих моментов и эпюра $M_{кр}$ показаны на рисунке 2.1, б.

Окружное усилие F_1 , действующее на шестерню и вал в вертикальной плоскости,

$$F_1 = \frac{2 \cdot m}{D_1} = \frac{2 \cdot 579}{0,23} = 5035 \text{ Н}.$$

Изгибающая сила F_2 от ременной передачи на шкиве, действующая на вал в горизонтальной плоскости,

$$F_2 = 3 \cdot \frac{2 \cdot m}{D_2} = 3 \cdot \frac{2 \cdot 579}{0,39} = 8908 \text{ Н}.$$

Схема действия изгибающих сил в вертикальной плоскости показана на рисунке 2.1, в. Опорные реакции R_{Ay} и R_{By} определены из уравнений статического равновесия вала. Ниже схемы показана эпюра изгибающих моментов M_x .

Схема действия изгибающих сил в горизонтальной плоскости показана на рисунке 2.1, г. Опорные реакции R_{Ax} и R_{Bx} определены из уравнений статического равновесия вала. Ниже схемы показана эпюра изгибающих моментов M_y .

Значения суммарных изгибающих моментов $M_{изг}$ в характерных сечениях вала определим по формуле

$$M_{изг} = \sqrt{M_x^2 + M_y^2}.$$

$$M_A = 0;$$

$$M_{D_1} = \sqrt{1403^2 + 891^2} = 1662 \text{ Н} \cdot \text{м};$$

$$M_{D_2} = \sqrt{638^2 + 2004^2} = 2103 \text{ Н} \cdot \text{м};$$

$$M_B = 0.$$

По эпюре полных изгибающих моментов $M_{изг}$ и эпюре крутящих момен-

тов $M_{кр}$ определим опасное сечение вала, в котором действуют наибольший изгиб изгибающий момент $M_{изг} = 2103 \text{ Н} \cdot \text{м}$ и крутящий момент $M_{кр} = 579 \text{ Н} \cdot \text{м}$.

Значение эквивалентного момента в опасном сечении, согласно четвертой теории прочности,

$$M_{экр}^{IV} = \sqrt{M_{изг}^2 + 0,75 \cdot M_{кр}^2} = \sqrt{2103^2 + 0,75 \cdot 579^2} = 2162 \text{ Н} \cdot \text{м}.$$

Осевой момент сопротивления вала

$$W_x = \frac{\pi \cdot d^3}{32} = \frac{3,14 \cdot 6,8^3}{32} = 30,85 \text{ см}^3.$$

Проверка прочности:

$$\sigma_{экр} = \frac{M_{экр}^{IV}}{W_x} = \frac{2162}{30,85 \cdot 10^{-6}} = 70,1 \cdot 10^6 \text{ Па} = 70,1 \text{ МПа} < R = 80 \text{ МПа}.$$

Условие прочности выполняется.

Тестовые вопросы и задачи для самопроверки

1 Какая теория прочности применяется для расчета стальных валов на совместное действие изгиба и кручения:

- | | |
|---|--|
| а) $\sigma_{экр} = \sigma_1 - \mu \cdot (\sigma_2 + \sigma_3) \leq R$; | в) $\sigma_{экр} = \sigma_1 - \sigma_3 \leq R$; |
| б) $\sigma_{экр} = \sigma_1 - \kappa \cdot \sigma_3 \leq R$; | г) $\sigma_{экр} = \sigma_1 \leq R$. |

2 Как определить эквивалентный момент по третьей теории прочности:

- | | |
|--|---|
| а) $M_{экр} = \sqrt{M_{изг}^2 + M_{кр}^2}$; | в) $M_{экр} = \sqrt{M_{изг}^2 + 0,75 \cdot M_{кр}^2}$; |
| б) $M_{экр} = \sqrt{M_x^2 + M_y^2}$; | г) $M_{экр} = \sqrt{M_{кр}^2 + 0,75 \cdot M_{изг}^2}$. |

3 Как определить суммарный изгибающий момент:

- | | |
|---------------------------------------|---------------------------------------|
| а) $M_{изг} = \sqrt{M_x + M_y}$; | в) $M_{изг} = \sqrt{M_x \cdot M_y}$; |
| б) $M_{изг} = \sqrt{M_x^2 + M_y^2}$; | г) $M_{изг} = M_x + M_y$. |

3 Расчет несущей способности колонны. Построение ядра сечения при внецентренном приложении продольной силы

Пример 1 – Проверить прочность бетонной колонны, если $F = 7$ кН, $R_{расм} = 0,6$ МПа, $R_{сж} = 6$ МПа, $\gamma_c = 1$. Размеры на рисунке 3.1 показаны в миллиметрах.

Решение

Условие прочности для сжимающей силы

$$\sigma_{\max} = -\frac{F}{A} \cdot \left(1 + \frac{x_F \cdot x_{on}}{i_y^2} + \frac{y_F \cdot y_{on}}{i_x^2} \right) \leq R \cdot \gamma_c.$$

Чтобы им воспользоваться, нужно определить положение нейтральной оси и опасные точки в сечении с координатами x_{on} , y_{on} .

Определим геометрические характеристики поперечного сечения колонны.

Площадь $A = 20 \cdot 18 = 360 \text{ см}^2$.

Осевые моменты инерции

$$I_x = \frac{b \cdot h^3}{12} = \frac{20 \cdot 18^3}{12} = 9720 \text{ см}^4; \quad I_y = \frac{h \cdot b^3}{12} = \frac{18 \cdot 20^3}{12} = 12000 \text{ см}^4.$$

Квадраты радиусов инерции

$$i_x^2 = \frac{I_x}{A} = \frac{9720}{360} = 27 \text{ см}^2; \quad i_y^2 = \frac{I_y}{A} = \frac{12000}{360} = 33,3 \text{ см}^2.$$

Координаты точки приложения силы следующие: $x_F = 15$ см, $y_F = 0$.

Положение нейтральной оси определяется по величине отрезков, которые она отсекает на осях координат (рисунок 3.2):

$$X_0 = -\frac{i_y^2}{x_F} = -\frac{33,3}{15} = -2,2 \text{ см}; \quad Y_0 = -\frac{i_x^2}{y_F} = -\frac{27}{0} = -\infty.$$

Нейтральная ось разделила колонну на две части. Определим координаты опасных точек.

В *растянутой области* из самых дальних от нейтральной оси точек на ребре выделим любую, например, точку 1: $x_1 = -10$ см, $y_1 = 0$.

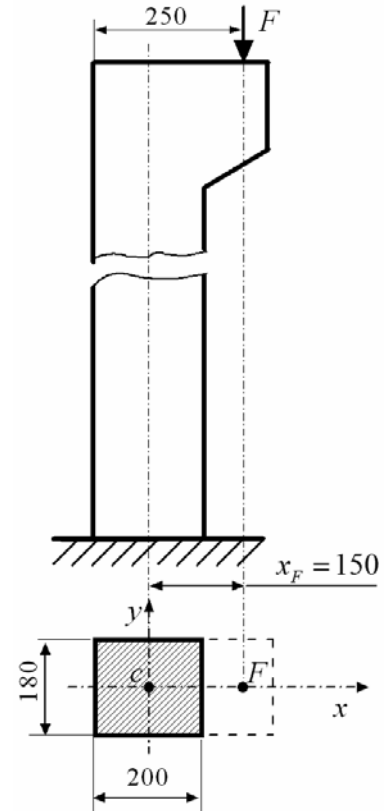


Рисунок 3.1

В сжатой области из самых дальних от нейтральной оси точек на ребре выделим любую, например, точку 2: $x_2 = 10$ см, $y_2 = 0$.

Проверка прочности в сжатой области:

$$\begin{aligned}\sigma_{\max}^{сж} = \sigma_2 &= -\frac{7 \cdot 10^3}{360 \cdot 10^{-4}} \cdot \left(1 + \frac{15 \cdot 10}{33,3} + 0\right) = \\ &= -1,07 \cdot 10^6 \text{ Па} = -1,07 \text{ МПа};\end{aligned}$$

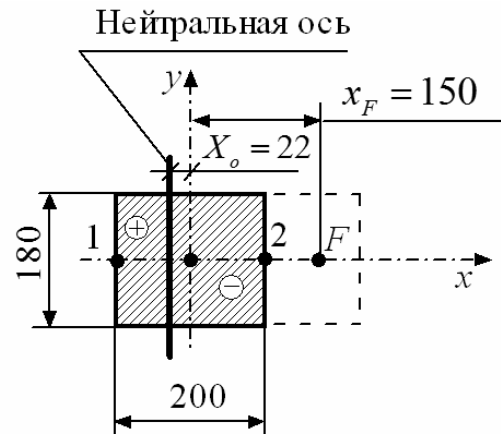


Рисунок 3.2

$$\sigma_{\max}^{сж} = 1,07 \text{ МПа} < R_{сж} \cdot \gamma_c = 6 \text{ МПа}.$$

Проверка прочности в растянутой области:

$$\sigma_{\max}^{раст} = \sigma_1 = -\frac{7 \cdot 10^3}{360 \cdot 10^{-4}} \cdot \left(1 + \frac{15 \cdot (-10)}{33,3} + 0\right) = 0,68 \cdot 10^6 \text{ Па} = 0,68 \text{ МПа};$$

$$\sigma_{\max}^{раст} = 0,68 \text{ МПа} > R_{раст} \cdot \gamma_c = 0,6 \text{ МПа}.$$

Перегрузка составила:

$$\delta = \frac{\sigma_{\max} - [\sigma]}{[\sigma]} \cdot 100 \% = \frac{0,68 - 0,6}{0,6} \cdot 100 \% = 13,3 \% > 5 \%,$$

что недопустимо.

Вывод: так как условие прочности на растяжение не выполняется, то прочность колонны не обеспечена.

Пример 2 – Определить минимальный диаметр стального стержня, к которому приложена растягивающая сила $F = 30$ кН (рисунок 3.3), если расчетное сопротивление материала $R = 180$ МПа, $\gamma_c = 1$.

Решение

Площадь поперечного сечения стержня

$$A = \frac{\pi \cdot d^2}{4} = 0,785 \cdot d^2.$$

Квадрат радиуса инерции

$$i_x^2 = i_y^2 = d^2/16.$$

Координаты точки приложения силы следующие: $x_F = 0$, $y_F = -d/4$.

Отрезки, которые отсекает нейтральная линия на осях координат,

$$X_0 = -\frac{i_y^2}{x_F} = -\frac{d^2/16}{0} = -\infty;$$

$$Y_0 = -\frac{i_x^2}{y_F} = -\frac{d^2/16}{-d/4} = \frac{d}{4}.$$

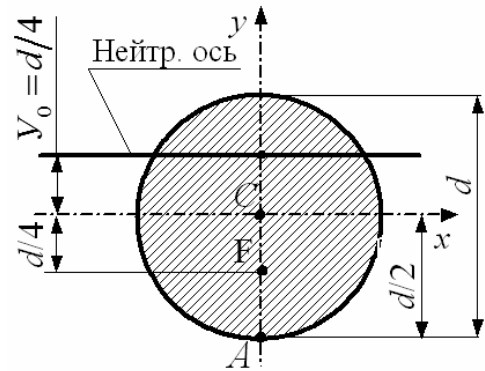


Рисунок 3.3

Опасной является точка A , как самая удаленная точка от нейтральной оси. Ее координаты следующие: $x_A = 0$, $y_A = -d/2$.

Определим минимальный диаметр стержня из условия прочности:

$$\sigma_{\max} = \frac{F}{A} \cdot \left(1 + \frac{x_F \cdot x_A}{i_y^2} + \frac{y_F \cdot y_A}{i_x^2} \right) \leq R \cdot \gamma_c;$$

$$\sigma_{\max} = \frac{F}{A} \cdot \left(1 + \frac{0 \cdot 0}{d^2/16} + \frac{(-d/4) \cdot (-d/2)}{d^2/16} \right) = \frac{F}{0,785 \cdot d^2} \cdot 3 = R \cdot \gamma_c;$$

$$d \geq \sqrt{\frac{F \cdot 3}{R \cdot \gamma_c \cdot 0,785}} = \sqrt{\frac{30 \cdot 10^3 \cdot 3}{180 \cdot 10^6 \cdot 1 \cdot 0,785}} = 0,025 \text{ м} = 25 \text{ мм}.$$

Пример 3 – Определить допустимую сжимающую силу для чугунного стержня коробчатого поперечного сечения (рисунок 3.4), если расчетное сопротивление материала $R_{\text{расч}} = 60$ МПа, $R_{\text{сж}} = 150$ МПа, $\gamma_c = 1$.

Построить ядро сечения. Размеры на рисунке 3.4 показаны в миллиметрах.

Решение

Площадь поперечного сечения $A = 12 \cdot 9 - 6 \cdot 9 = 54 \text{ см}^2$.

Осевые моменты инерции

$$I_x = \frac{12 \cdot 9^3}{12} - \frac{9 \cdot 6^3}{12} = 567 \text{ см}^4; \quad I_y = \frac{9 \cdot 12^3}{12} - \frac{6 \cdot 9^3}{12} = 931,5 \text{ см}^4.$$

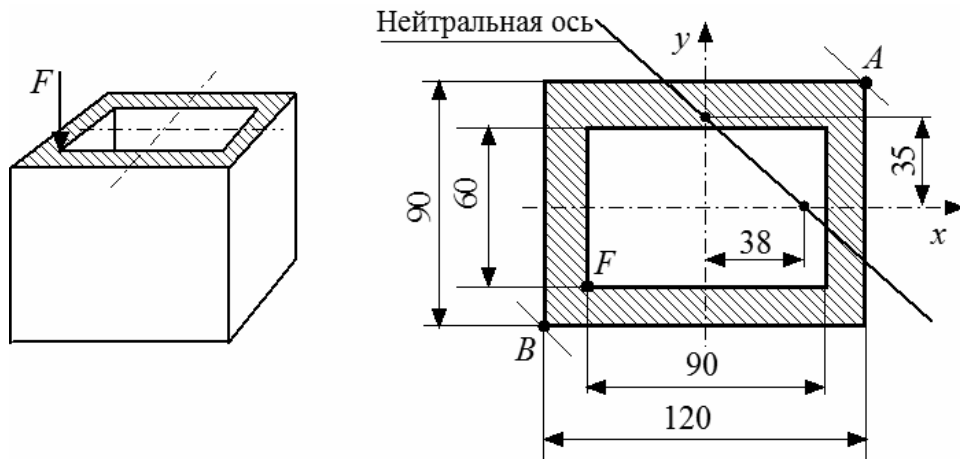


Рисунок 3.4

Квадраты радиусов инерции

$$i_x^2 = \frac{I_x}{A} = \frac{567}{54} = 10,5 \text{ см}^2; \quad i_y^2 = \frac{I_y}{A} = \frac{931,5}{54} = 17,25 \text{ см}^2.$$

Координаты точки приложения силы следующие: $x_F = -4,5 \text{ см}$; $y_F = -3 \text{ см}$.

Положение нейтральной оси определим по величине отрезков, которые она отсекает на осях координат (см. рисунок 3.4):

$$X_0 = -\frac{i_y^2}{x_F} = -\frac{17,25}{-4,5} = 3,8 \text{ см};$$

$$Y_0 = -\frac{i_x^2}{y_F} = -\frac{10,5}{-3} = 3,5 \text{ см}.$$

Нейтральная ось разделила колонну на две части.

В *растянутой области* составим условие прочности для опасной точки A с координатами $x_A = 6 \text{ см}$ и $y_A = 4,5 \text{ см}$:

$$\sigma_{\max}^{\text{раст}} = \sigma_A = -\frac{F}{A} \cdot \left(1 + \frac{(-4,5) \cdot 6}{17,25} + \frac{(-3) \cdot 4,5}{10,5} \right) = -\frac{F \cdot (-1,85)}{A} \leq R_{\text{раст}} = 60 \text{ МПа}.$$

Откуда допустимая сила

$$F \leq \frac{A \cdot R_{\text{раст}}}{1,85} = \frac{54 \cdot 10^{-4} \cdot 60 \cdot 10^6}{1,85} = 175 \cdot 10^3 \text{ Н} = 175 \text{ кН}.$$

В *сжатой области* составим условие прочности для опасной точки B с координатами $x_B = -6 \text{ см}$ и $y_B = -4,5 \text{ см}$:

$$\sigma_{\max}^{\text{сж}} = \sigma_B = -\frac{F}{A} \cdot \left(1 + \frac{(-4,5) \cdot (-6)}{17,25} + \frac{(-3) \cdot (-4,5)}{10,5} \right) = -\frac{F \cdot 3,85}{A} \leq R_{\text{сж}} = -150 \text{ МПа.}$$

Откуда допустимая сила

$$F \leq \frac{A \cdot R_{\text{сж}}}{3,85} = \frac{54 \cdot 10^{-4} \cdot 150 \cdot 10^6}{3,85} = 210 \cdot 10^3 \text{ Н} = 210 \text{ кН.}$$

Допустимой для всего стержня будет меньшая из рассчитанных сил: $[F] = 175 \text{ кН}$.

Для построения *ядра сечения* (рисунок 3.5) нужно провести касательные линии к контуру сечения и определить координаты угловых точек ядра по следующим формулам:

$$x_{\text{я}} = -\frac{i_y^2}{X_0}; \quad y_{\text{я}} = -\frac{i_x^2}{Y_0}.$$

Касательная 1–1: $X_0 = -6 \text{ см}, Y_0 = \infty$.

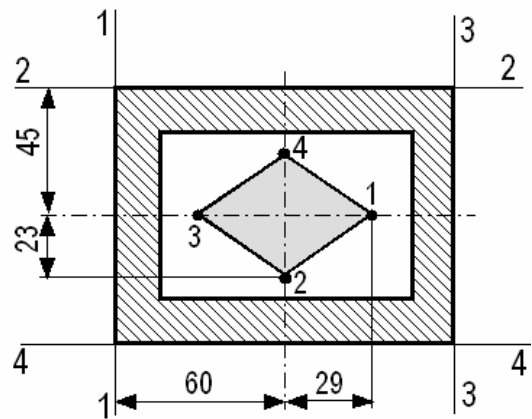


Рисунок 3.5

Точка 1: $x_1 = -\frac{i_y^2}{X_0} = -\frac{17,25}{-6} = 2,9 \text{ см}, \quad y_1 = -\frac{i_x^2}{Y_0} = -\frac{10,5}{\infty} = 0.$

Касательная 2–2: $X_0 = \infty, Y_0 = 4,5 \text{ см}$.

Точка 2: $x_2 = -\frac{i_y^2}{X_0} = -\frac{17,25}{\infty} = 0, \quad y_2 = -\frac{i_x^2}{Y_0} = -\frac{10,5}{4,5} = -2,3 \text{ см}.$

Касательная 3–3: $X_0 = 6 \text{ см}, Y_0 = \infty$.

Точка 3: $x_3 = -\frac{i_y^2}{X_0} = -\frac{17,25}{6} = -2,9 \text{ см}, \quad y_3 = -\frac{i_x^2}{Y_0} = -\frac{10,5}{\infty} = 0.$

Касательная 4–4: $X_0 = \infty, Y_0 = -4,5 \text{ см}$.

Точка 4: $x_4 = -\frac{i_y^2}{X_0} = -\frac{17,25}{\infty} = 0, \quad y_4 = -\frac{i_x^2}{Y_0} = -\frac{10,5}{-4,5} = 2,3 \text{ см}.$

Найденные точки соединяются прямыми линиями (см. рисунок 3.5).

Тестовые вопросы и задачи для самопроверки

1 Какие внутренние силовые факторы возникают в поперечных сечениях бруса при внецентренном растяжении или сжатии:

- а) продольная сила и поперечная сила;
- б) только продольная сила;
- в) только изгибающие моменты;
- г) изгибающие моменты и продольная сила.

2 По какой формуле определяются напряжения при внецентренном растяжении-сжатии:

$$\begin{array}{ll} \text{а) } \sigma = \pm \frac{M_x \cdot y}{I_x} \pm \frac{M_y \cdot x}{I_y}; & \text{в) } \sigma = \pm \frac{F}{A} \cdot \left(1 + \frac{x_F \cdot x}{i_x^2} + \frac{y_F \cdot y}{i_y^2} \right); \\ \text{б) } \sigma = \pm \frac{M_x \cdot x}{I_x} \pm \frac{M_y \cdot y}{I_y}; & \text{г) } \sigma = \pm \frac{F}{A} \cdot \left(1 + \frac{x_F \cdot x}{i_y^2} + \frac{y_F \cdot y}{i_x^2} \right). \end{array}$$

3 При внецентренном растяжении-сжатии нулевая линия:

- а) проходит через центр тяжести поперечного сечения;
- б) проходит через точку приложения силы;
- в) находится за центром тяжести поперечного сечения напротив силы;
- г) находится между центром тяжести и точкой приложения силы.

4 При внецентренном растяжении-сжатии нормальные напряжения максимальны:

- а) на границе ядра сечения;
- б) в точке, наиболее удаленной от нулевой линии;
- в) в точке приложения силы;
- г) в центре поперечного сечения.

5 Какие напряжения испытывает брус, если сжимающая внецентренная сила приложена в ядре сечения:

- а) нормальные напряжения на растяжение и на сжатие;
- б) нормальные напряжения только на сжатие;
- в) нормальные напряжения только на растяжение;
- г) касательные напряжения на сдвиг.

6 Какое положение занимает нейтральная линия, если продольная сила приложена на границе ядра сечения:

- а) касается поперечного сечения;
- б) проходит вне сечения;

- в) пересекает поперечное сечение за пределами ядра;
- г) касается ядра сечения.

7 Где нужно прикладывать продольную силу, чтобы напряжения в поперечном сечении не менялись:

- а) на границе ядра;
- б) на границе поперечного сечения;
- в) на нейтральной оси;
- г) в центре тяжести поперечного сечения.

8 Какой закон распределения нормальных напряжений в поперечном сечении бруса при внецентренном растяжении-сжатии:

- а) постоянный;
- б) гиперболический;
- в) параболический;
- г) линейный.

9 Для каких из перечисленных материалов сжимающую нагрузку необходимо прикладывать в ядре сечения:

- а) дерево;
- б) сталь;
- в) бетон;
- г) медь.

10 Опасные точки для бетонной колонны (рисунок 3.6):

- а) *A* и *C*;
- б) *B* и *Д*;
- в) *A*, *B*, *C* и *Д*;
- г) Только *B*.

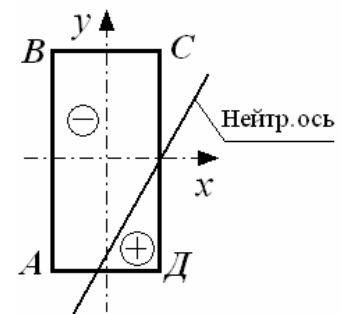


Рисунок 3.6

4 Расчет стержней с учетом пластических свойств материала

При расчете стержней и стержневых систем из материалов, обладающих свойствами пластичности, может быть использована упрощенная диаграмма σ – ε (диаграмма Прандтля) (рисунок 4.1).

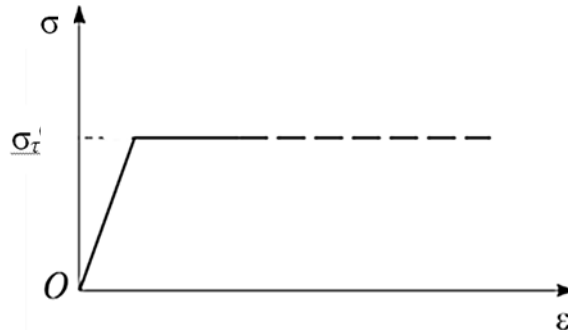


Рисунок 4.1

Эта диаграмма состоит из двух прямолинейных участков – наклонного и горизонтального. Горизонтальный участок, соответствующий площадке текучести, считается бесконечно протяженным. Согласно диаграмме Прандтля при достижении напряжениями предела текучести σ_t деформации неограниченно возрастают, что условно принимается за начало разрушения стержня. При этом предельная сила в стержне (разрушающая сила) равна

$$N_{пред} = N_{разр} = \sigma_t \cdot A. \quad (4.1)$$

В стержневых системах, стержни которых работают на растяжение и сжатие, началом разрушения может считаться момент, когда напряжения в одном или нескольких стержнях достигнут предела текучести $[\sigma_t]$. При этом можно по формуле (4.1) определить усилия в стержнях, а затем с помощью уравнений равновесия установить величину предельной силы $P_{пред}$. Допускаемая нагрузка на конструкцию $[P]$ определяется из условия

$$P \leq [P] = \frac{P_{пред}}{n},$$

где n – коэффициент запаса прочности, принимаемый на основании тех же соображений, которые учитываются при расчете по методу допускаемых напряжений.

При определении предельной нагрузки в статически неопределимых системах надо учесть, что возникновение пластических деформаций ($a = a_t$) только в одном или в нескольких элементах (стержнях) не всегда приводит систему к разрушению.

Пример – Для стержневой системы (рисунок 4.2) определим значения предельной и допускаемой силы P . В расчетах примем $\sigma_t = 240$ МПа, $n = 1,5$, $A_1 = A_3 = 10$ см², $A_2 = 15$ см².

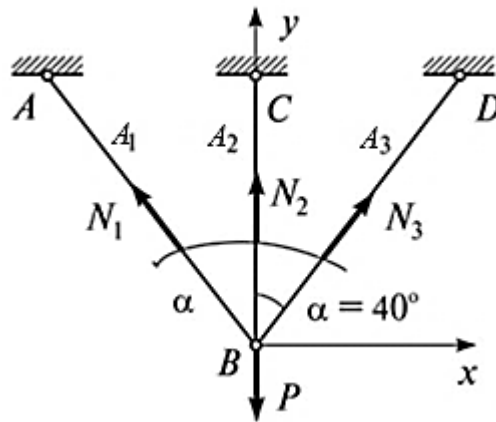


Рисунок 4.2

Решение

Составим два уравнения равновесия:

$$\sum X = 0. \quad -N_1 \sin \alpha + N_3 \sin \alpha = 0, \quad N_1 = N_3;$$

$$\sum Y = 0. \quad N_1 \cos \alpha + N_2 + N_3 \cos \alpha - P = 0;$$

$$P = 2N_1 \cos \alpha + N_2.$$

При постепенном увеличении силы P наступит момент, когда напряжения во всех трех стержнях достигнут предела текучести σ_t . Этот момент, согласно диаграмме Прандтля, соответствует началу разрушения системы, поскольку деформации стержней при этом неограниченно возрастают. Определим значения усилий в стержнях в момент начала разрушения.

$$N_{1,пред} = N_{3,пред} = \sigma_t \cdot A_1 = 240 \cdot 10^{-1} \cdot 10 = 240 \text{ кН};$$

$$N_{2,пред} = \sigma_t \cdot A_2 = 240 \cdot 10^{-1} \cdot 15 = 360 \text{ кН}.$$

Находим из уравнения равновесия величину предельной силы:

$$P_{пред} = 2N_{1,пред} \cos \alpha + N_{2,пред} = 2 \cdot \cos 40^\circ + 360 = 727,7 \text{ кН}.$$

Величина допускаемой силы равна

$$[P] = \frac{P_{пред}}{n} = \frac{727,7}{1,5} = 485,1 \text{ кН.}$$

5 Определение перемещений с использованием интегралов Мора

Пример – Для балки, нагруженной равномерно распределенной нагрузкой (рисунок 5.1), определить:

- 1) прогиб в точке K (вертикальное перемещение точки EIy_k);
- 2) прогиб в точке C (вертикальное перемещение точки EIy_c);
- 3) угол поворота точки C ($EI\theta_c$).

Решение

Схемы нагрузок заданной и балок с единичной нагрузкой показаны на рисунке 5.1, *a–г*. Определяем вертикальные реакции в шарнирах A и B .

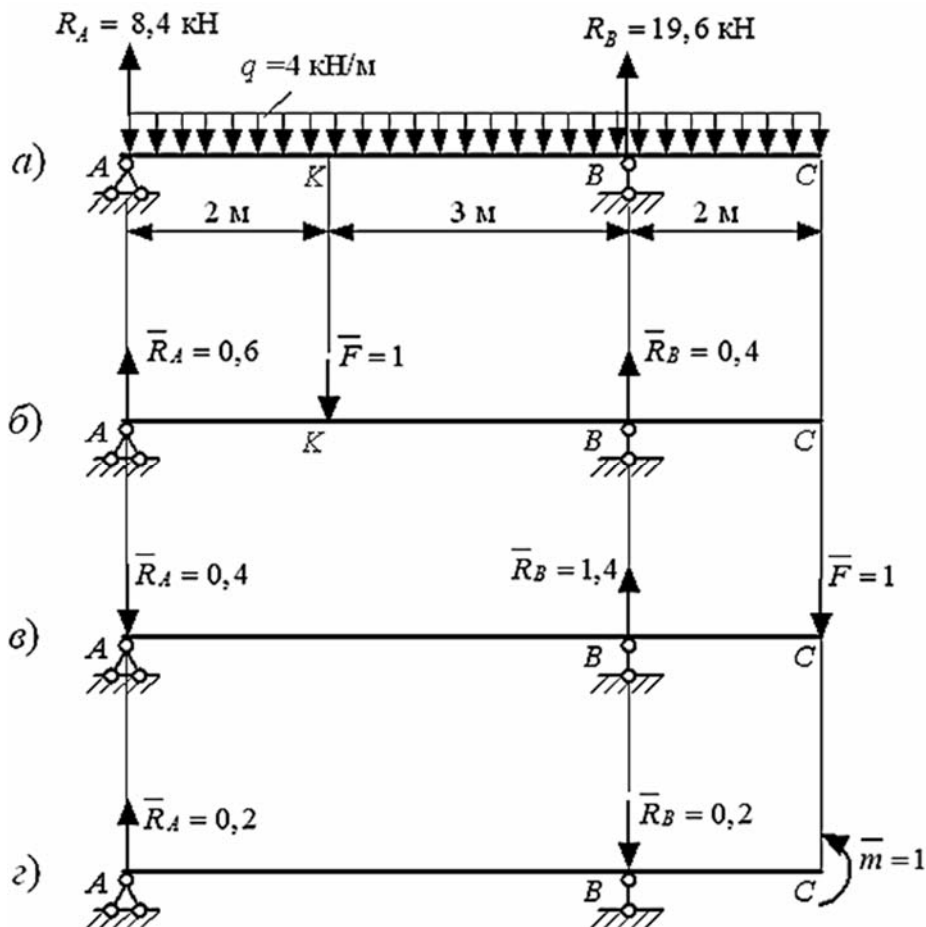


Рисунок 5.1

Составляем уравнение изгибающих моментов относительно точки A :

$$\sum M_A = 4 \cdot 7 \cdot 3,5 - R_B \cdot 5 = 0;$$

$$R_B = \frac{4 \cdot 7 \cdot 3,5}{5} = 19,6 \text{ кН.}$$

Составляем уравнение изгибающих моментов относительно точки B :

$$\sum M_B = 5R_A - 4 \cdot 5 \cdot 2,5 + 4 \cdot 2 \cdot 1 = 0;$$

$$R_A = \frac{4 \cdot 5 \cdot 2,5 - 4 \cdot 2 \cdot 1}{5} = 8,4 \text{ кН.}$$

Для нахождения этих перемещений воспользуемся первым слагаемым в формуле Мора, а именно:

$$\Delta_i = \sum_1^n \int_l \frac{M_p(z) \cdot M_1(z) \cdot dz}{EI},$$

где $M_p(z)$ – эпюра изгибающих моментов от заданной внешней нагрузки (рисунок 5.2, б);

$M_1(z)$ – эпюра моментов от воздействия единичной нагрузки.

EI – жесткость балки при изгибе.

Строим эпюру изгибающих моментов от внешней нагрузки по участкам:

$$M_{p1}(z) = 8,4 \cdot z_1 - 4 \cdot z_1^2; \quad M_{p2} = 4 \cdot z_2^2.$$

Для определения прогиба в точке K единичную нагрузку прикладываем в точку K по вертикали (рисунок 5.2, в); для определения прогиба в точке C единичную нагрузку прикладываем в точку C по вертикали (рисунок 5.2, г).

Для определения угла поворота сечения в точке C единичную нагрузку в виде сосредоточенного изгибающего момента прикладываем к точке C (рисунок 5.2, д).

Строим эпюру изгибающих моментов $M_1(z)$ (см. рисунок 5.2, в).

Уравнение моментов для левого участка $M_1(z) = 0,6 \cdot z$, для правого – $M_1(z) = 0,4 \cdot z$.

Вычисляем

$$EIy_k = \int_0^2 (8,4 \cdot z - 2 \cdot z^2) \cdot 0,6 \cdot z \, dz + \int_0^3 (8,8 + 0,4 \cdot (z - 2z^2))(1,2 - 0,4 \cdot z) \, dz =$$

$$= \int_0^2 (5,04 \cdot z^2 - 1,2 \cdot z^3) \, dz + \int_0^3 (10,56 + 3,04 \cdot z - 2,56 \cdot z^2 + 0,8 \cdot z^3) \, dz =$$

$$= 8,64 + 11,16 = 19,80.$$

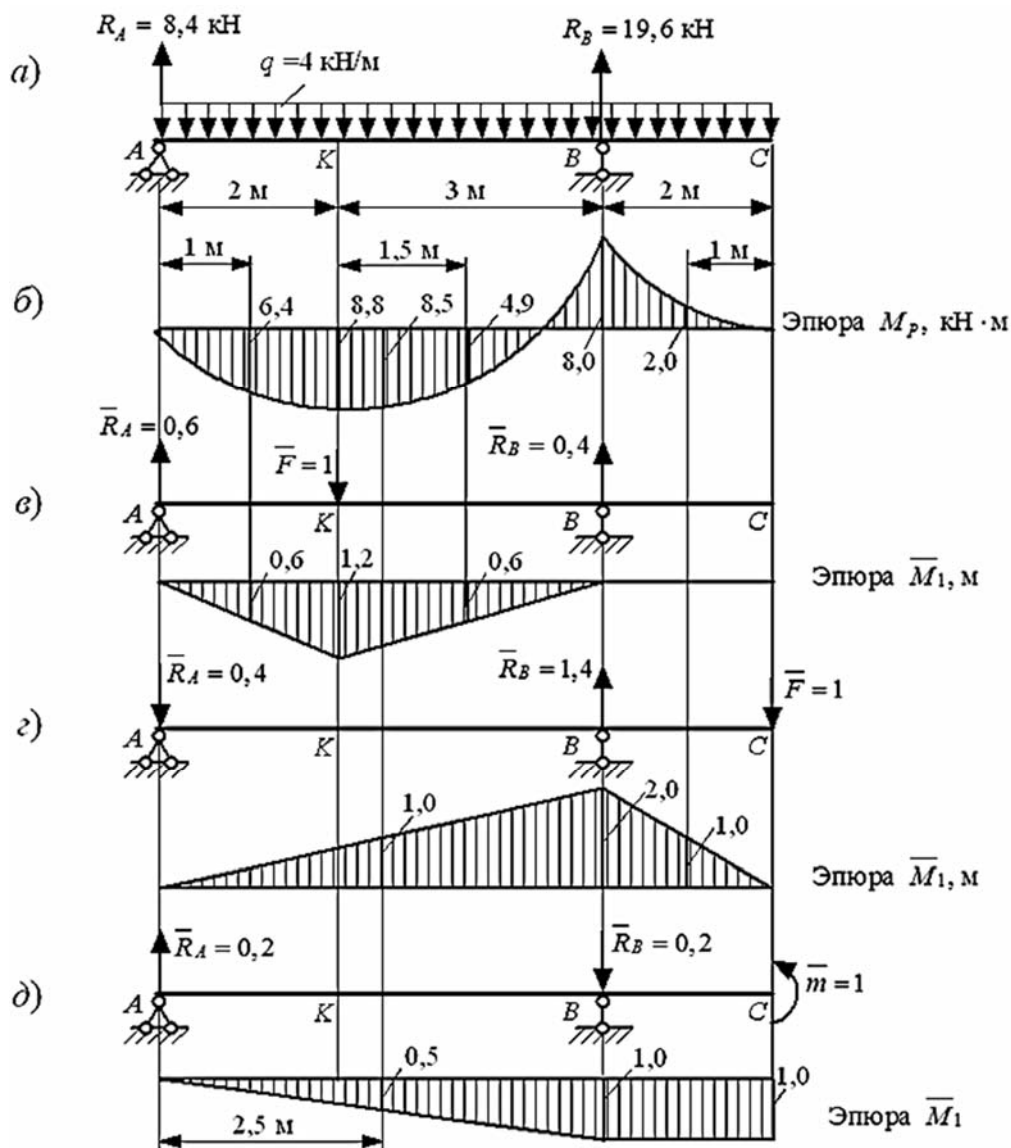


Рисунок 5.2

Для определения прогиба в точке C перемножаем эюры M_P (см. рисунок 5.2, a) и M_1 (см. рисунок 5.2, b).

$$\begin{aligned}
 EIy_c &= \int_0^5 (8,4 \cdot z - 2z) \cdot (-0,4z) dz + \int_0^2 2 \cdot z^2 \cdot z \cdot dz = \\
 &= \int_0^5 (3,36 \cdot z^2 - 0,8 \cdot z^3) dz + \int_0^2 2 \cdot z^3 dz = -15 + 8 = -7; \\
 EI\Theta_c &= \int_0^5 (8,4 \cdot z - 2 \cdot z^2) \cdot 0,2z \cdot dz + \int_0^2 2 \cdot z^2 \cdot 1 \cdot dz = \\
 &= \int_0^5 (1,68 \cdot z^2 - 0,4 \cdot z^3) dz + \int_0^2 2 \cdot z^2 \cdot dz = 7,5 - 5,33 = 2,17.
 \end{aligned}$$

Необходимо помнить: если одна из эюр на участке интегрирования имеет излом (см. рисунок 5.2, в), то нужно интегрирование на этом участке разбить на два участка (граница участков интегрирования – точка излома).

Напоминаем правило знаков при перемножении: знак произведения положительный, если обе координаты эюр моментов расположены по одну сторону от оси стержня.

6 Определение перемещений способом Верещагина

Для балки, нагруженной равномерно распределенной нагрузкой (рисунок 6.1, а), определить:

- 1) прогиб в точке K (вертикальное перемещение точки Ely_k);
- 2) прогиб в точке C (вертикальное перемещение точки Ely_c);
- 3) угол поворота точки C ($EI\theta_c$).

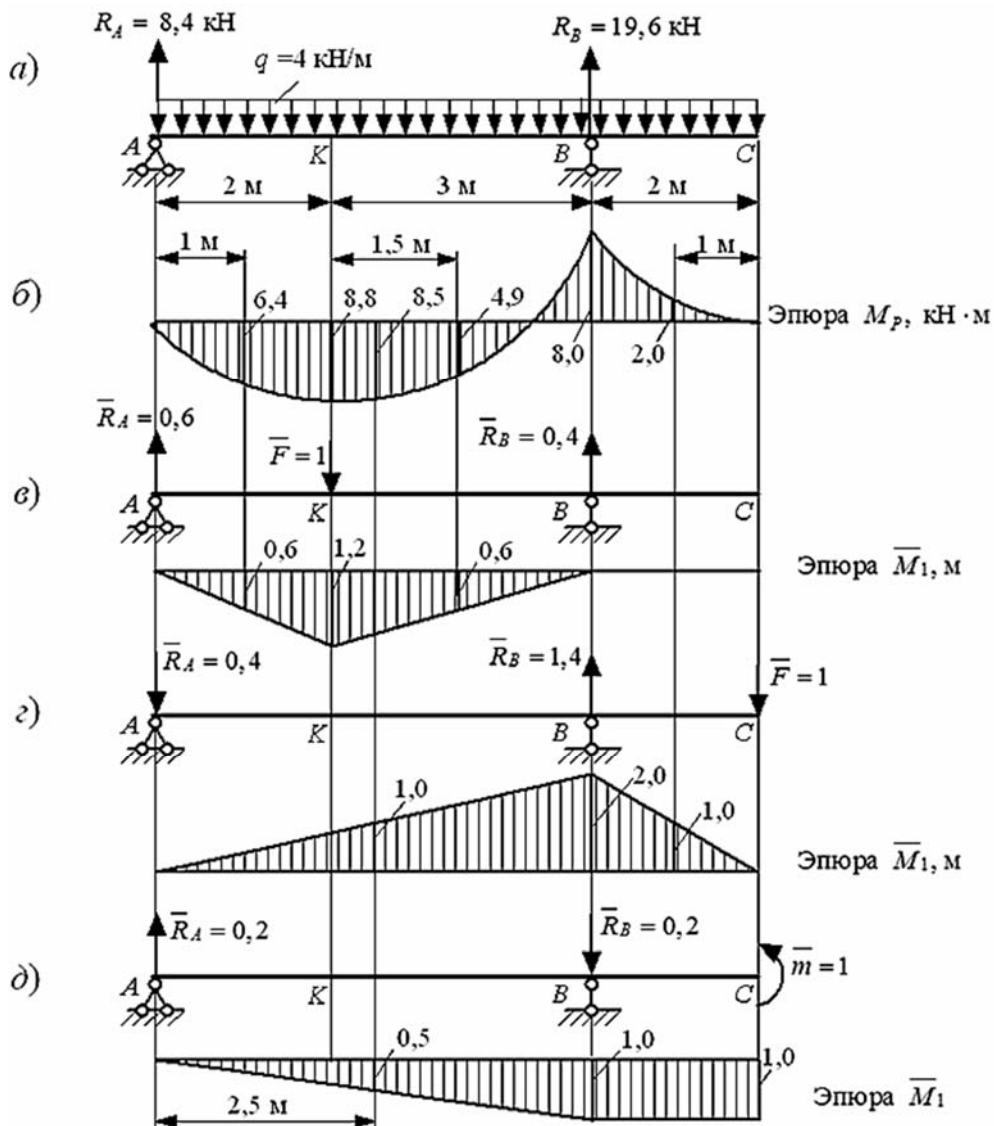


Рисунок 6.1

Решение

Определяем вертикальные реакции в шарнирах A и B (см. раздел 5).

Определение EIY_k .

Перемножим эпюры M_p и M_1 (рисунок 6.1, б, в).

$$EIY_k = \frac{2}{3} \cdot 2 \cdot 2 \cdot \frac{1}{2} \cdot 0,6 + \frac{8,8 \cdot 2}{2} \cdot \frac{2}{3} \cdot 1,2 + \frac{2}{3} \cdot 3 \cdot 4,5 \cdot 0,6 - \frac{8,8 \cdot 3}{2} \cdot \frac{2}{3} \cdot 1,2 - \frac{8 \cdot 3}{2} \cdot \frac{1}{3} \cdot 1,2 = 8,64 + 11,16 = 19,80.$$

Определение EIY_c .

Перемножаем M_p на M_1 (см. рисунок 6.1, б, в).

$$EIY_c = \frac{5 \cdot 8}{2} \cdot \frac{2}{3} \cdot 2 - \frac{2}{3} \cdot 5 \cdot \frac{25}{2} \cdot 1 + \frac{2 \cdot 8}{2} \cdot \frac{2}{3} \cdot 2 - \frac{2}{3} \cdot 2 \cdot 1 = 8 - 15 = -7.$$

Знак «минус» указывает, что перемещение точки 3 происходит вверх (а не вниз, как мы предполагали) на семь единиц.

Определение $EI\Theta_c$.

Перемножаем эпюры моментов, показанные на рисунке 6.1, б, д. Тогда:

$$EI\Theta_c = \frac{5 \cdot 8}{2} \cdot \frac{2}{3} - \frac{2}{3} \cdot \frac{25}{2} \cdot 5 \cdot \frac{1}{2} + \frac{2 \cdot 8}{2} \cdot 1 - \frac{2}{3} \cdot 2 \cdot 2 \cdot 1 = 7,5 - 5,33 = 2,17.$$

7 Расчет балок в упругопластической стадии сопротивления материалов

Рассмотрим пример расчета балки на изгиб по допустимым напряжениям и по предельному состоянию без учета влияния поперечной силы.

Балка прямоугольного поперечного сечения, зажата по концам, несет равномерно распределенную по длине нагрузку интенсивности g (рисунок 7.1). Определить наибольшую интенсивность этой нагрузки согласно расчету по допустимому напряжению и по предельному состоянию при том же запасе прочности n .

Расчет по допустимым напряжениям. Балка статически неопределенная. Ее расчет существенно упрощается благодаря симметрии. Находим лишние неизвестные и строим эпюру изгибающих моментов (см. рисунок 7.1). Изгибающий момент наибольшее значение имеет в защемленных опорных сечениях:

$$M_{\max} = \frac{g \cdot l^2}{12}.$$

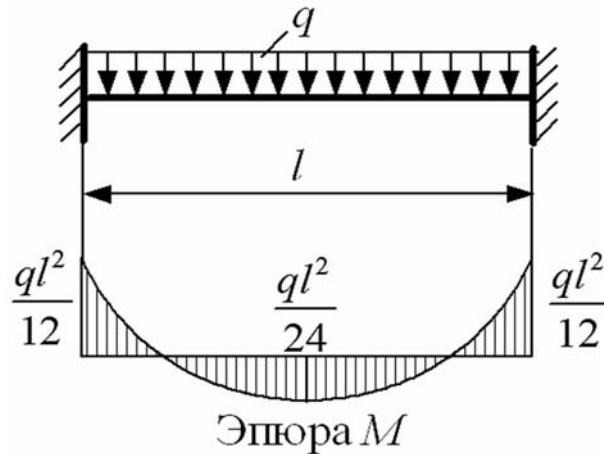


Рисунок 7.1

При увеличении нагрузки g максимальные напряжения в этих же сечениях в первую очередь достигнут предела текучести. Принимая запас прочности по пределу текучести равным n , определяем наибольшую допустимую интенсивность нагрузки из условия прочности

$$\frac{M_{\max}}{W} = \frac{\sigma_t}{n}.$$

Учитывая, что $W = \frac{b \cdot h^2}{6}$, а $M_{\max} = \frac{g_1 l^2}{12}$, получаем

$$g_1 = 2 \frac{\sigma_t}{n} \frac{b \cdot h^2}{l^2}.$$

Расчет по предельному состоянию. После появления пластических деформаций в наиболее удаленных от нейтральной оси точках опорных сечений дальнейший рост нагрузки приведет к образованию в этих сечениях пластических шарниров, а изгибающий момент при этом достигнет предельного значения M_{np} . Теперь уже балка работает как шарнирно опертая, к которой на опорах приложены постоянные моменты (рисунок 7.2).

$$M_{np} = \sigma_t \cdot W_{nl} = \sigma_t \cdot \frac{b \cdot h^2}{4}.$$

При дальнейшем росте нагрузки эти моменты сохраняют свое значение, и задача становится статически определенной. В пролетных сечениях величины изгибающих моментов будут расти, пока посередине пролета момент не станет

равным той же величине M_{np} , пока не образуется пластический шарнир. При этом три пластические шарниры расположатся на одной прямой, поэтому дальнейший рост нагрузки невозможен. Несущая способность балки иссякнет.

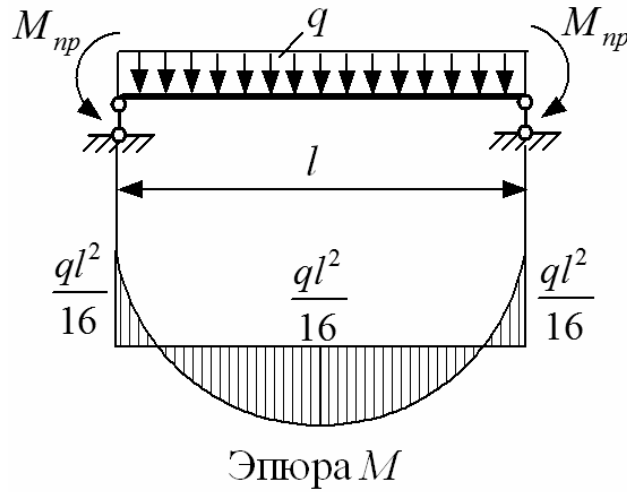


Рисунок 7.2

Условие равенства изгибающих моментов в опорных сечениях и посередине пролета имеет вид:

$$\frac{g_{np} l^2}{8} - M_{np} = M_{np}, \quad (7.1)$$

откуда находим, что

$$M_{np} = \frac{g_{np} l^2}{16}. \quad (7.2)$$

Решая совместно выражения (7.1) и (7.2), найдем

$$g_{np} = 4 \cdot \sigma_t \cdot \frac{b \cdot h^2}{l^2}.$$

Принимая запас прочности равный n , получим наибольшую допустимую интенсивность нагрузки:

$$g_2 = \frac{g_{np}}{n} = 4 \frac{\sigma_t}{n} \frac{bh^2}{l^2}.$$

Отношение наибольших допустимых нагрузок при расчетах по предельному состоянию и по допускаемому напряжению

$$\frac{g_2}{g_1} = 2.$$

Расчет по предельному состоянию часто позволяет вскрыть дополнительные резервы прочности. Как указывалось выше, он получил широкое распространение при расчете строительных конструкций.

8 Расчет толстостенных труб и тонкостенных стержней

В толстостенных трубах, нагруженных равномерным давлением, напряжения и деформации не изменяются вдоль оси трубы. При этом распределение напряжений и деформаций происходит одинаково во всех плоскостях, перпендикулярных к этой оси. По граням малого криволинейного элемента, выделенного в поперечном сечении трубы (рисунок 8.1), действуют нормальные напряжения – радиальные σ_r и окружные σ_θ . Каждая точка трубы при ее деформации получает радиальное перемещение u . Величины напряжений σ_r и σ_θ , а также перемещения u зависят от расстояния r от рассматриваемой точки трубы до ее оси.

Если сплошная (не составная) труба с внутренним радиусом a и наружным радиусом b не имеет дниц и нагружена равномерным внутренним p_a и наружным p_b давлением, то величины σ_r , σ_θ и u определяются по формулам Ламе:

$$\begin{aligned}\sigma_r &= \frac{p_a a^2 - p_b b^2}{b^2 - a^2} - \frac{(p_a - p_b) a^2 b^2}{(b^2 - a^2) r^2}; \\ \sigma_\theta &= \frac{p_a a^2 - p_b b^2}{b^2 - a^2} + \frac{(p_a - p_b) a^2 b^2}{(b^2 - a^2) r^2}; \\ u &= \frac{1 - \mu}{E} \frac{p_a a^2 - p_b b^2}{b^2 - a^2} r + \frac{1 + \mu}{E} \frac{(p_a - p_b) a^2 b^2}{(b^2 - a^2) r}.\end{aligned}\quad (8.1)$$

Поскольку в точках толстостенных труб реализуется сложное (плоское) напряженное состояние, оценка прочности их производится на основе тех или иных критериев (теорий) прочности.

Формулы Ламе используются, в частности, при расчете составных труб (рисунок 8.2). В соответствии с решением А. В. Гадолина основные геометрические и силовые параметры таких труб определяются по формулам:

– радиальный натяг

$$\delta = \frac{p \cdot c}{E}, \quad (8.2)$$

– внешний радиус внутренней трубы

$$b = \sqrt{a \cdot c}; \quad (8.3)$$

– давление от натяга

$$p_{\text{н}} = \frac{E \cdot \delta (b^2 - a^2)(c^2 - b^2)}{2b^3 (c^2 - a^2)}. \quad (8.4)$$

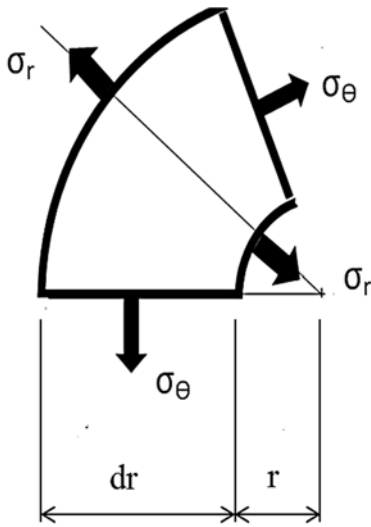


Рисунок 8.1

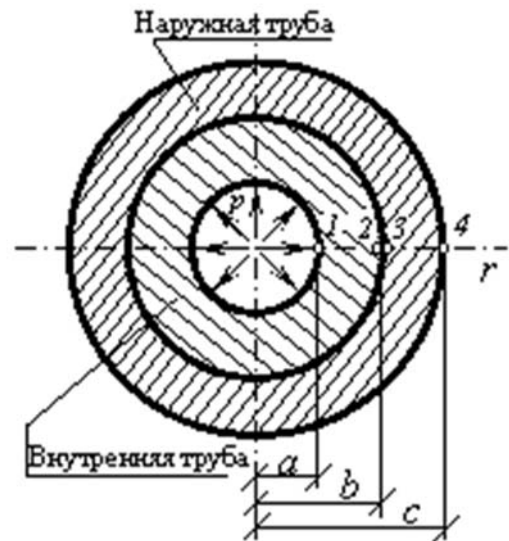


Рисунок 8.2

Условие прочности в наиболее напряженных точках составной трубы в соответствии с критерием наибольших касательных напряжений (третья теория прочности) имеет вид:

$$\sigma_{\text{экв}} = \frac{p \cdot c}{c - a} \leq R_y. \quad (8.5)$$

Пример 1 – Для стальной составной трубы (см. рисунок 8.2) заданы: внутренний радиус внутренней трубы $a = 7$ см, внутреннее давление $p = 100$ МПа, расчетное сопротивление стали $R_y = 240$ МПа, коэффициент Пуассона $\mu = 0,3$; модуль продольной упругости $E = 2 \cdot 10^5$ МПа.

Требуется:

1) определить внешний радиус внутренней трубы b , внешний радиус наружной трубы c , радиальный натяг δ ;

2) проверить прочность сплошной трубы с внутренним радиусом a и внешним радиусом c , нагруженной внутренним давлением p , используя третью теорию прочности;

3) проверить прочность в опасных точках составной трубы, нагруженной внутренним давлением p , используя третью теорию прочности;

4) определить радиальные перемещения точек внутреннего канала.

Решение

1 Определение геометрических параметров b , c и δ .

Внешний радиус c наружной трубы определяется на основе условия прочности (8.5):

$$c = \frac{R_y}{R_y - p} = \frac{240 \cdot 7}{240 - 100} = 12 \text{ см.}$$

Внешний радиус b внутренней трубы вычисляется по формуле (8.3):

$$b = \sqrt{a \cdot c} = \sqrt{7 \cdot 12} = 9,16 \text{ см.}$$

Радиальный натяг рассчитывается по формуле (8.2):

$$\delta = \frac{p \cdot b}{E} = \frac{100 \cdot 9,16}{2 \cdot 10^5} = 4,58 \cdot 10^{-3} \text{ см.}$$

2 Проверка прочности сплошной трубы с внутренним a и внешним радиусом c , нагруженной давлением p .

Из теории расчета толстостенных труб известно, что и при нагружении внутренним давлением, и при нагружении внешним давлением опасными являются точки на внутреннем канале трубы.

Рассчитываем напряжения в точках 1 (см. рисунок 8.2), используя формулы (8.1) и полагая в них $b = c$, $p_a = p$, $p_b = 0$, $r = a$:

$$\sigma_{r,1} = \frac{p \cdot a^2}{c^2 - a^2} \left(1 - \frac{c^2}{r^2} \right) = -p = -100 \text{ МПа;}$$

$$\sigma_{\theta,1} = \frac{p \cdot a^2}{c^2 - a^2} \left(1 + \frac{c^2}{r^2} \right) = \frac{10 \cdot 7}{12^2 - 7^2} \left(1 + \frac{12^2}{7^2} \right) = 203 \text{ МПа.}$$

По аналогии определяем в точках 2 и 3:

$$\sigma_{r,2} = \sigma_{r,3} = \frac{p \cdot a^2}{c^2 - a^2} \left(1 - \frac{c^2}{b^2} \right) = -36,94 \text{ МПа.}$$

$$\sigma_{\Theta,2} = \sigma_{\Theta,3} = \frac{p \cdot a^2}{c^2 - a^2} \left(1 + \frac{c^2}{b^2} \right) = \frac{10 \cdot 7^2}{12^2 - 7^2} \left(1 + \frac{12^2}{9,16^2} \right) = 140 \text{ МПа}$$

и в точке 4

$$\sigma_{r,4} = \frac{p \cdot a^2}{c^2 - a^2} \left(1 - \frac{c^2}{b^2} \right) = 0;$$

$$\sigma_{\Theta,4} = \frac{p \cdot a^2}{c^2 - a^2} \left(1 + \frac{c^2}{c^2} \right) = \frac{10 \cdot 7^2}{12^2 - 7^2} (1 + 1) = 103 \text{ МПа.}$$

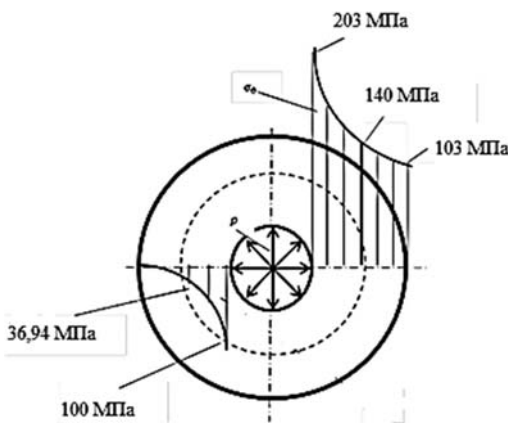


Рисунок 8.3

Эпюра распределения напряжений по толщине сплошной трубы с внутренним a и внешним радиусом c показана на рисунке 8.3.

Условие прочности по третьей теории прочности имеет вид:

$$\sigma_{\text{экв}} = \sigma_{\text{max}} - \sigma_{\text{min}} \leq R_y.$$

В рассматриваемом случае в точке 1 трубы

$$\sigma_{\text{max}} = \sigma_{\Theta} = 203 \text{ МПа};$$

$$\sigma_{\text{min}} = \sigma_r = -100 \text{ МПа.}$$

Таким образом, получаем

$$\sigma_{\text{экв}} = 203 - (-100) = 303 \text{ МПа};$$

$$\sigma_{\text{экв}} > R_y = 240 \text{ МПа.}$$

Условие прочности для сплошной трубы не выполняется.

3 Проверка прочности в опасных точках составной трубы, нагруженной внутренним давлением p .

$$p_{\text{н}} = \frac{E \cdot \delta (b^2 - a^2)}{2b^3 (c^2 - a^2)} = \frac{2 \cdot 10^5 \cdot 4,58 \cdot 10^{-3} (9,16^2 - 7^2)(12^2 - 9,16^2)}{2 \cdot 9,16^3 (12^2 - 7^2)} = 13,5 \text{ МПа.}$$

Рассчитываем напряжения σ_r и σ_{Θ} в точке 1 от действия натяга p_k , полагая в них $p_a = 0$, $p_b = p_k$, $r = a$:

$$\sigma_r = -\frac{p_N b^2}{(b^2 - a^2)} \left(1 - \frac{a^2}{r^2}\right) = 0;$$

$$\sigma_\Theta = -\frac{p_N b^2}{(b^2 - a^2)} \left(1 + \frac{a^2}{r^2}\right) = -\frac{2p_N b^2}{(b^2 - a^2)} = \frac{2 \cdot 13,15 \cdot 9,16^2}{9,16^2 - 7^2} = -63,22 \text{ МПа.}$$

Рассчитаем суммарные напряжения σ_r и σ_Θ в точке 1 от действия p и p_k :

$$\sigma_r = \sigma_{r(p)} + \sigma_{r(p_N)} = -100 + 0 = -100 \text{ МПа;}$$

$$\sigma_\Theta = \sigma_{\Theta(p)} + \sigma_{\Theta(p_N)} = 203 - 63,22 = 139,78 \text{ МПа.}$$

Проверяем прочность составной трубы в точке 1 по третьей теории прочности:

$$\sigma_{\text{экв}} = \sigma_{\text{max}} - \sigma_{\text{min}} = 139,78 - (-100) = 239,78 \leq 240 \text{ МПа.}$$

Условие прочности для составной трубы выполняется.

4 Определение радиальных перемещений точек 1 составной трубы.

Воспользуемся законом Гука для двухосного напряженного состояния:

$$u = \frac{r}{E} (\sigma_\Theta - \mu \sigma_r) = \frac{7}{2 \cdot 10^5} [139,78 - 0,3 \cdot (-100)] = 5,94 \cdot 10^{-5} \text{ м.}$$

Пример 2 – Расчет тонкостенного стержня открытого профиля.

Для тонкостенного стержня открытого профиля, изображенного на рисунке 8.4, а, при следующих исходных данных: $H = 12,5 \cdot 10^{-2}$ м; $B = 19 \cdot 10^{-2}$ м; $l = 2$ м; $\delta = 1 \cdot 10^{-2}$ м; $P = 1$ кН; $E = 2 \cdot 10^5$ МПа; $G = 8 \cdot 10^4$ МПа, требуется:

- 1) определить площадь, положение центра тяжести, главные центральные моменты инерции поперечного сечения;
- 2) найти положение центра изгиба;
- 3) определить момент инерции при чистом кручении $I_{кр}$ и секториальные характеристики сечения;

- 4) вычислить изгибно-крутильную характеристику $\alpha = \sqrt{\frac{GI_p}{EI_\omega}}$.

Решение

1 Определение площади, положения центра тяжести и главных центральных моментов инерции.

Вычислим расчетные размеры сечения стержня (рисунок 8.4, б, в), приняв в дальнейших расчетах:

$$\delta = 1 \cdot 10^{-2} \text{ м};$$

$$b = B - 2 \frac{\delta}{2} = 19 \cdot 10^{-2} - 1 \cdot 10^{-2} = 18 \cdot 10^{-2} \text{ м};$$

$$h = H - \frac{\delta}{2} = 12,5 \cdot 10^{-2} - \frac{1 \cdot 10^{-2}}{2} = 12 \cdot 10^{-2} \text{ м}.$$

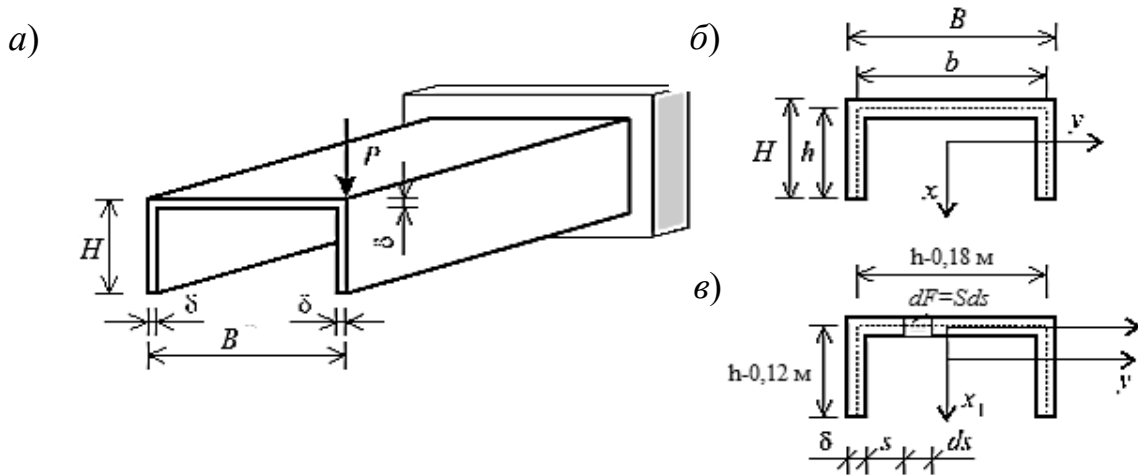


Рисунок 8.4

Тогда

$$A = \delta \sum S_i = \delta(b + 2h) = 1 \cdot 10^{-2} \cdot (18 \cdot 10^{-2} + 2 \cdot 12 \cdot 10^{-2}) = 42 \cdot 10^{-4} \text{ м}^2.$$

В выбранной системе координат $x_1 y_1$ определим положение центра тяжести сечения: $y_c = 0$; $x_c = \frac{S_{y1}}{A}$; $y_c = 0$.

Для этого построим эюру координат x_1 (см. рисунок 8.4, а) и вычислим статический момент сечения относительно оси y_1 :

$$S_{y1} = \delta \sum \int x_1 ds = 1 \cdot 10^{-2} \cdot \frac{2 \cdot 12 \cdot 10^{-2} \cdot 12 \cdot 10^{-2}}{2} = 144 \cdot 10^{-6} \text{ м}^3.$$

Тогда координата центра тяжести сечения

$$x_c = \frac{S_{y1}}{A} = \frac{144 \cdot 10^{-6}}{42 \cdot 10^{-4}} = 3,43 \cdot 10^{-2} \text{ м}.$$

Для вычисления главных центральных моментов инерции предварительно построим эюру координат x и y (см. рисунок 8.4, б, в). С применением этих эюр определяются

$$I_x = \delta \sum \int y^2 ds = 1 \cdot 10^{-2} \cdot (12 \cdot 10^{-2} \cdot 9 \cdot 10^{-2} \cdot 9 \cdot 10^{-2} \cdot 2 + \frac{9 \cdot 10^{-2} \cdot 9 \cdot 10^{-2}}{2} \cdot \frac{2}{3} \cdot 9 \cdot 10^{-2} \cdot 2) =$$

$$= 2,43 \cdot 10^{-5} \text{ м}^4;$$

$$I_y = \delta \sum \int x^2 ds = 1 \cdot 10^{-2} \cdot (18 \cdot 10^{-2} \cdot 3,43 \cdot 10^{-2} \cdot 3,43 \cdot 10^{-2} \cdot 2 + \frac{12 \cdot 10^{-2}}{6} \cdot 2 +$$

$$+ 8,57 \cdot 10^{-2} + \frac{9 \cdot 10^{-2} \cdot 9 \cdot 10^{-2}}{2} \cdot \frac{2}{3} \cdot 9 \cdot 10^{-2} \cdot 2) \times$$

$$\times [2(3,43 \cdot 10^{-2} \cdot 3,43 \cdot 10^{-2} + 8,57 \cdot 10^{-2}) - 2 \cdot 3,43 \cdot 10^{-2} \cdot 8,57 \cdot 10^{-2}] = 6,583 \cdot 10^{-5} \text{ м}^4.$$

2 Определение положения центра изгиба.

Вначале построим эпюру секториальных координат площади ω_B в характерных точках (1, 2, 3, 4) профиля, выбрав произвольный полюс в точке B (рисунок 8.5, z):

$$\omega_1 = -2 \cdot \frac{1}{2} \cdot 9 \cdot 10^{-2} \cdot 12 \cdot 10^{-2} = -108 \cdot 10^{-4} \text{ м}^2;$$

$$\omega_2 = \omega_3 = 0;$$

$$\omega_4 = 2 \cdot \frac{1}{2} \cdot 9 \cdot 10^{-2} \cdot 12 \cdot 10^{-2} = 108 \cdot 10^{-4} \text{ м}^2.$$

Вычисляем координаты центра изгиба. Используя эпюры ω_B и y , применив правило Верещагина, вычисляем секториально-линейный статический момент

$$S_{\omega_{Bx}} = \int_A \omega_B y dA = \delta \sum_i \int_{S_i} \omega_B y ds =$$

$$= 1 \cdot 10^{-2} \cdot \frac{1,08 \cdot 10^{-2} \cdot 12 \cdot 10^{-2}}{2} \cdot 9 \cdot 10^{-2} = -116,64 \cdot 10^{-8} \text{ м}^5.$$

Тогда координата центра изгиба по вертикальной оси принимает значение

$$x_A = \frac{S_{\omega_{Bx}}}{I_x} = \frac{-116,64 \cdot 10^{-8}}{2,43 \cdot 10^{-5}} = -48,0 \cdot 10^{-3} \text{ м}.$$

Координата центра изгиба по горизонтальной оси вычисляется по формуле

$$y_A = \frac{S_{\omega_{By}}}{I_y}.$$

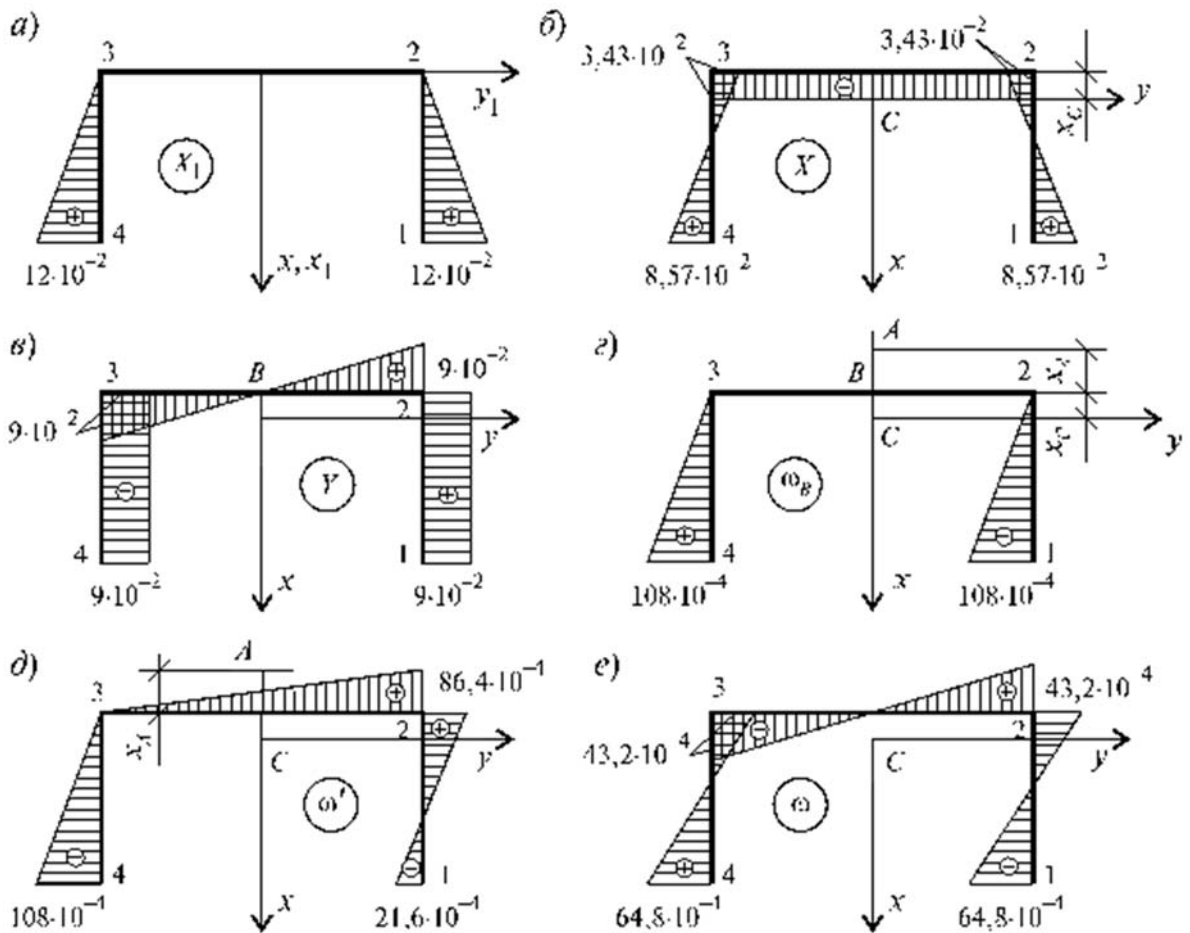


Рисунок 8.5

Так как эпюра x симметрична, а эпюра ω_B обратно симметрична относительно x , то по правилу Верещагина секториально-линейный статический момент равен нулю, т. е.

$$S_{\omega_{By}} = \int_A \omega_B x dA = \delta \sum_i \int_{S_i} \omega_B x ds = 0.$$

Следовательно, $y_A = 0$ и поэтому центр изгиба лежит на оси x .

Вычислим постоянную D , предварительно построив эпюру секториальных площадей ω' (рисунок 8.5, д).

При этом полюс расположим в центре изгиба (точка A). За начало отсчета возьмем точку 3 (произвольно):

$$\omega'_4 = 2 \cdot \frac{1}{2} \cdot 9 \cdot 10^{-2} \cdot 12 \cdot 10^{-2} = 108 \cdot 10^{-4} \text{ м}^4;$$

$$\omega'_3 = 0;$$

$$\omega'_2 = 2 \cdot \frac{1}{2} \cdot 4,8 \cdot 10^{-2} \cdot 18 \cdot 10^{-2} = 86,4 \cdot 10^{-4} \text{ м}^4;$$

$$\omega'_1 = 2 \cdot \frac{1}{2} \cdot 4,8 \cdot 10^{-2} \cdot 18 \cdot 10^{-2} - 2 \cdot \frac{1}{2} \cdot 9 \cdot 10^{-2} \cdot 12 \cdot 10^{-2} = -21,6 \cdot 10^{-4}.$$

Постоянную D вычисляем по формуле

$$D = -\frac{S_{\omega'}}{A} = \frac{\int \omega' dA}{A} = \frac{\delta \sum_i \int_{S_i} \omega' ds}{A}.$$

Далее вычисляем секториально-статический момент $S_{\omega'}$, как произведение площади эпюры ω' на y :

$$S_{\omega'} = 1 \cdot 10^{-2} \left\{ 108 \cdot 10^{-4} \cdot 12 \cdot 10^{-2} \cdot \frac{1}{2} + (86,4 \cdot 10^{-4} - 21,6 \cdot 10^{-4}) \cdot \frac{1}{2} \cdot 12 \cdot 10^{-2} + \right. \\ \left. + 86,4 \cdot 10^{-4} \cdot 18 \cdot 10^{-2} \right\} = 1814,4 \cdot 10^{-9} \text{ м}^4.$$

В этом случае величина постоянной D будет равна:

$$D = -\frac{1814,4 \cdot 10^{-8}}{42 \cdot 10^{-4}} = 43,2 \cdot 10^{-4} \text{ м}^2.$$

Далее вычисляем секториальные координаты характерных точек профиля:

$$\omega_1 = -21,6 \cdot 10^{-4} - 43,2 \cdot 10^{-4} = -64,8 \cdot 10^{-4} \text{ м}^2;$$

$$\omega_2 = 86,4 \cdot 10^{-4} - 43,2 \cdot 10^{-4} = 43,2 \cdot 10^{-4} \text{ м}^2;$$

$$\omega_3 = 0 - 43,2 \cdot 10^{-4} = -43,2 \cdot 10^{-4} \cdot 10^{-4} = 64,8 \cdot 10^{-4} \text{ м}^2;$$

$$\omega_4 = 108 \cdot 10^{-4} - 43,2 \cdot 10^{-4} = 64,8 \cdot 10^{-4} \text{ м}^2.$$

По полученным координатам строим эпюру ω (рисунок 8.5, е).

3 Определить момент инерции при чистом кручении $I_{кр}$ и секториальные характеристики сечения.

Для корытообразного профиля поперечного сечения бруса (рисунок 8.5, б), имеем:

$$I_{кр} = \frac{1,12}{3} \cdot \left[12,5 \cdot 10^{-2} \cdot (1 \cdot 10^{-2})^3 \cdot 2 + (19 \cdot 10^{-2} - 2 \cdot 1 \cdot 10^{-2}) \cdot (1 \cdot 10^{-2})^3 \right] =$$

$$= 15,68 \cdot 10^{-8} \text{ м}^4.$$

Секториальный момент инерции I_{ω} вычисляем по эпюре ω (рисунок 8.5, e):

$$I_{\omega} = \int_A \omega^2 dA = \delta \sum_i \omega^2 ds = 1 \cdot 10^{-2} \left(\frac{43,2 \cdot 10^{-4} \cdot 9 \cdot 10^{-2}}{2} \cdot \frac{2}{3} \cdot 43,2 \cdot 10^{-2} \cdot 2 + \frac{12 \cdot 10^{-2}}{6} \cdot 2 \times \right.$$

$$\left. \times \left\{ 2 \left[(43,2 \cdot 10^{-4})^2 + (64,8 \cdot 10^{-4})^2 \right] - 2 \cdot 43,2 \cdot 10^{-4} \cdot 64,8 \cdot 10^{-4} \right\} \right) = 3,73 \cdot 10^{-9} \text{ м}^6.$$

4 Определение изгибно-крутильной характеристики α .

Изгибно-крутильную характеристику α вычисляем по формуле

$$\alpha = \sqrt{\frac{GI_{кр}}{EI_{\omega}}} = \sqrt{\frac{8 \cdot 10^4 \cdot 15,68 \cdot 10^{-8}}{2 \cdot 10^5 \cdot 3,73 \cdot 10^{-8}}} = 1,3 \text{ м}^{-1}.$$

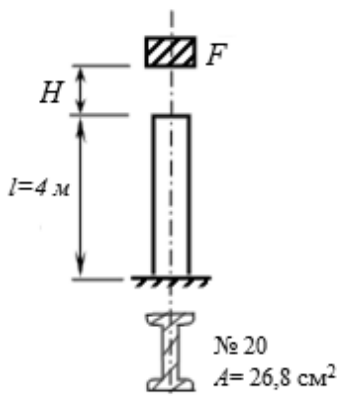
9 Расчет при продольном ударе

Пример – Пусть груз $F = 10$ кН падает с высоты $H = 10$ см на двутавровую стойку длиной $\ell = 4$ м (рисунок 9.1).

Определить:

- 1) максимальное нормальное напряжение;
- 2) наибольшее укорочение стойки при ударе.

Считать, что стойка не теряет устойчивости.



Решение

Расчетными формулами при ударе являются:

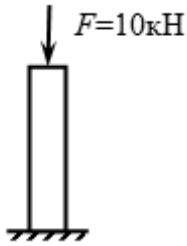
$$\sigma_{дин} = k \cdot \sigma_{ст}; \quad \Delta l_{дин} = k \cdot \Delta l_{ст}.$$

$$k = 1 + \sqrt{1 + \frac{2H}{\delta_{ст}}},$$

Рисунок 9.1

где k – динамический коэффициент при ударе.

Эти параметры соответствуют статическому способу приложения силы веса падающего груза (рисунок 9.2)



$$|\sigma_{cm}| = \frac{N_{cm}}{A} = \frac{10 \cdot 10^3}{26,8 \cdot 10^{-4}} = 3,73 \text{ МПа};$$

$$\delta_{cm} = |\Delta l_{cm}| = \frac{N_{cm} \cdot l}{E \cdot A} = \frac{10 \cdot 10^3 \cdot 4}{2 \cdot 10^{11} \cdot 26,8 \cdot 10^{-4}} = 0,746 \cdot 10^{-4} \text{ м.}$$

Рисунок 9.2

Тогда

$$k = 1 + \sqrt{1 + \frac{2 \cdot 0,1}{0,746 \cdot 10^{-4}}} = 1 + 51,8 = 52,8;$$

$$\sigma_{дин} = 3,73 \cdot 52,8 = 193 \text{ МПа};$$

$$|\Delta l_{дин}| = 0,746 \cdot 52,8 = 39,4 \cdot 10^{-4} \text{ м.}$$

10 Расчет при поперечном ударе

Пример – На двутавровую балку № 20 длиной $l = 9$ м, свободно лежащую на двух жестких опорах, с высоты $h = 5$ см падает груз $Q = 1200$ Н (рисунок 10.1).

Требуется:

- 1) найти наибольшее нормальное напряжение в балке;
- 2) определить прогиб балки в месте падения груза.

Решение

1 Рассчитываем балку на действие статической нагрузки. Прикладываем силу Q и строим эпюру изгибающих моментов M_F . Для этого определяем реакции:

$$\sum M_A = 0; \quad R_B = \frac{Q \cdot 3}{9} = 400 \text{ Н};$$

$$\sum M_B = 0; \quad R_A = \frac{Q \cdot 6}{9} = 800 \text{ Н.}$$

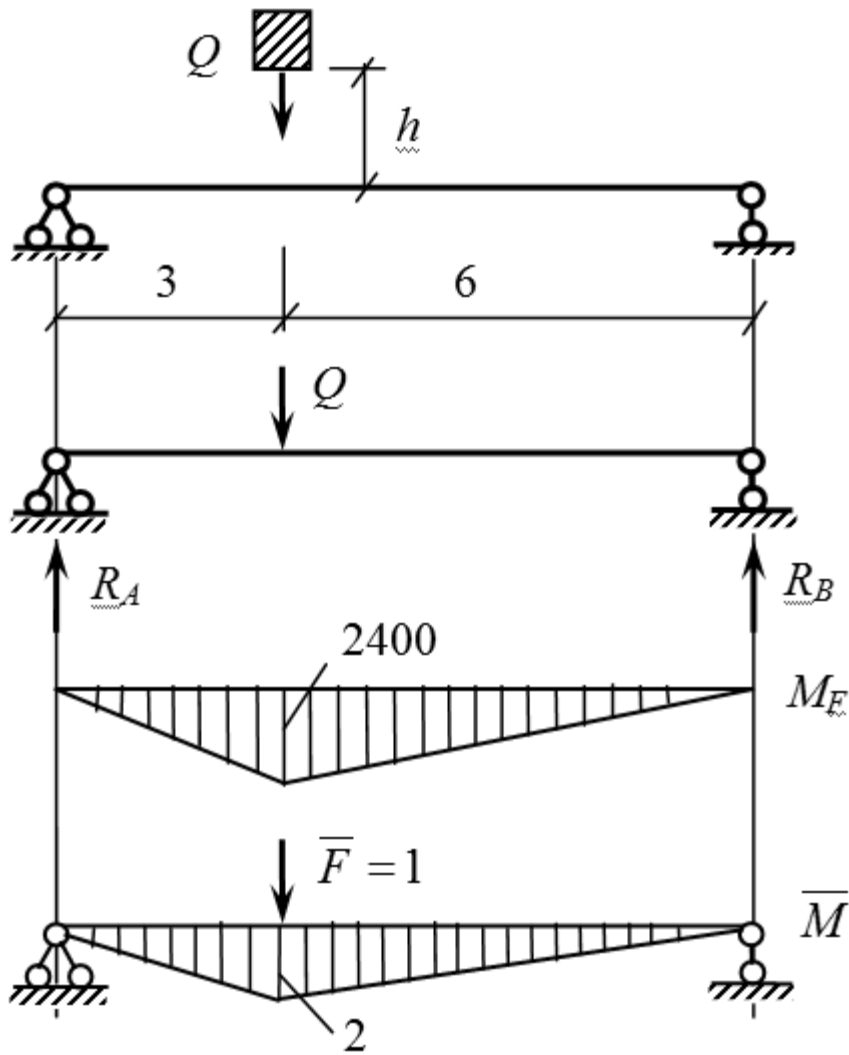


Рисунок 10.1

Максимальный момент

$$M_{\max} = R_A \cdot 3 = 800 \cdot 3 = 2400 \text{ Н}\cdot\text{м.}$$

2 В место падения груза прикладываем единичную силу и строим единичную эпюру (эпюру моментов от единичной нагрузки):

$$\sum M_A = 0; \quad R'_B = \frac{\bar{F} \cdot 3}{9} = \frac{1}{3};$$

$$\sum M_B = 0; \quad R'_A = \frac{\bar{F} \cdot 6}{9} = \frac{2}{3}.$$

Максимальный момент

$$M_{\max} = R'_A \cdot 3 = \frac{2}{3} \cdot 3 = 2 \text{ м.}$$

3 Определяем максимальный прогиб балки в месте падения груза при статическом действии нагрузки по любому методу определения перемещений.

Например, по правилу Верещагина

$$\begin{aligned}\Delta_{cm} &= \frac{1}{EI_x} \left(\frac{1}{2} \cdot 3 \cdot 2400 \cdot \frac{2}{3} \cdot 1 + \frac{1}{2} \cdot 6 \cdot 2400 \cdot \frac{2}{3} \cdot 1 \right) = \\ &= \frac{7200}{2 \cdot 10^{11} \cdot 1840 \cdot 10^{-8}} = 1,95 \cdot 10^{-3} \text{ м.}\end{aligned}$$

4 Определяем динамический коэффициент

$$k = 1 + \sqrt{1 + \frac{2H}{\delta_{cm}}} = 1 + \sqrt{1 + \frac{2 \cdot 5 \cdot 10^{-3}}{0,195 \cdot 10^{-3}}} = 8,2.$$

5 Наибольшее нормальное напряжение в балке при ударе

$$\sigma_{\max}^d = k \cdot \sigma_{\max}^{cm} = k \cdot \frac{M_{\max}}{W_x} = 8,2 \cdot \frac{2400}{184 \cdot 10^{-6}} = 107 \text{ МПа.}$$

6 Наибольший прогиб при ударе

$$\Delta_{дин} = k \cdot \Delta_{cm} = 8,2 \cdot 0,195 = 1,6 \text{ см.}$$

11 Расчеты сжатых стержней на устойчивость: проверочный, проектировочный, определение несущей способности

Пример 1 (проверочный расчет) – Проверить устойчивость стального стержня (рисунок 11.1), определить его критическую силу $F_{кр}$ и коэффициент запаса устойчивости n_y .

Исходные данные: $R = 200$ МПа; $\gamma_c = 0,9$; коэффициент приведения длины $\mu = 0,7$; коэффициенты $a = 310$ МПа, $b = 1,14$ МПа.

Решение

Площадь сечения $A = 6 \cdot 9 = 54 \text{ см}^2$.

Минимальный осевой момент инерции

$$I_y = I_{\min} = \frac{h \cdot b^3}{12} = \frac{9 \cdot 6^3}{12} = 162 \text{ см}^4.$$

Минимальный радиус инерции

$$i_y = i_{\min} = \sqrt{\frac{I_y}{A}} = \sqrt{\frac{162}{54}} = 1,73 \text{ см.}$$

Максимальная гибкость стержня

$$\lambda_{\max} = \frac{\mu \cdot \ell}{i_{\min}} = \frac{0,7 \cdot 2,4}{1,73 \cdot 10^{-2}} = 97,1.$$

Определяем коэффициент продольного изгиба φ методом линейной интерполяции, используя данные [8, таблица 5.1]: при $\lambda = 90$ $\varphi = 0,665$; при $\lambda = 100$ $\varphi = 0,599$.

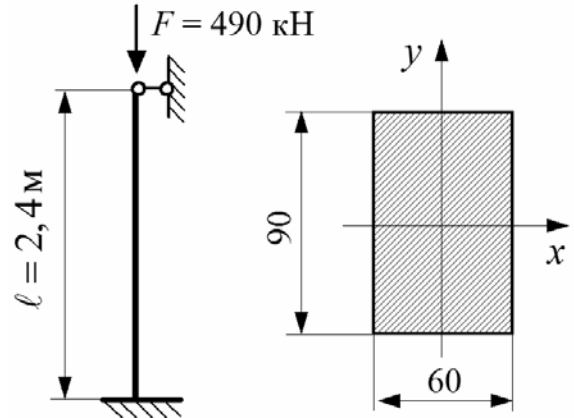


Рисунок 11.1

$$\varphi = 0,665 - \frac{0,665 - 0,599}{100 - 90} \cdot (97,1 - 90) = 0,618.$$

Проверяем устойчивость стержня по формуле

$$\sigma = \frac{F}{A} \leq \varphi \cdot R \cdot \gamma_c;$$

$$\sigma = \frac{490 \cdot 10^3}{54 \cdot 10^{-4}} = 90,74 \cdot 10^6 \text{ Па} = 90,74 \text{ МПа} < \varphi \cdot R \cdot \gamma_c = 0,618 \cdot 200 \cdot 0,9 = 111,24 \text{ МПа.}$$

Критическую силу определяем по формуле Ясинского, т. к. гибкость стержня меньше предельной гибкости для стали ($97,1 < 100$):

$$F_{кр} = (a - b \cdot \lambda) \cdot A = (310 \cdot 10^6 - 1,14 \cdot 10^6 \cdot 97,1) \cdot 54 \cdot 10^{-4} = 1076 \cdot 10^3 \text{ Н.}$$

Коэффициент запаса устойчивости найдем по формуле

$$n_y = \frac{F_{кр}}{F} = \frac{1076}{490} = 2,2.$$

Пример 2 (проектировочный расчет) – Подобрать размеры поперечного сечения стального стержня (рисунок 11.2).

Исходные данные: $R = 240$ МПа; $\gamma_c = 0,9$; коэффициент приведения длины стержня, закрепленного жестко с одной стороны $\mu = 2$.

Решение

Расчет ведется методом последовательного приближения.

Первое приближение.

Задаёмся начальным коэффициентом продольного изгиба $\varphi_1 = 0,5$.

Из условия устойчивости вычисляем площадь поперечного сечения

$$A_1 = \frac{F}{\varphi_1 \cdot R \cdot \gamma_c} = \frac{400 \cdot 10^3}{0,5 \cdot 240 \cdot 10^6 \cdot 0,9} = 37 \cdot 10^{-4} \text{ м}^2.$$

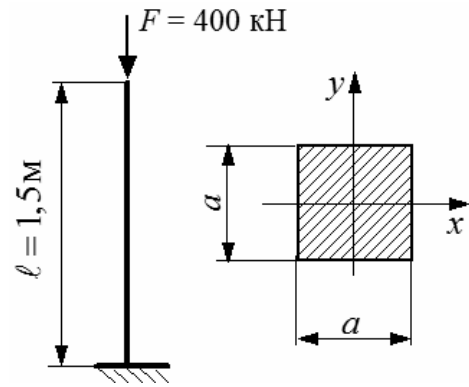


Рисунок 11.2

По найденной площади определяем размеры квадратного поперечного сечения

$$a_1 = \sqrt{A_1} = \sqrt{37 \cdot 10^{-4}} = 0,061 \text{ м.}$$

Вычисляем минимальный радиус инерции этого поперечного сечения

$$i_y = i_x = i_{\min} = \sqrt{\frac{I_{\min}}{A}} = \sqrt{\frac{a^4}{12 \cdot a^2}} = \frac{a^2}{3,46} = \frac{0,061^2}{3,46} = 0,0176 \text{ м.}$$

Определяем гибкость стержня найденного поперечного сечения

$$\lambda_1 = \frac{\mu \cdot \ell}{i_{\min}} = \frac{2 \cdot 1,5}{0,0176} = 170,5.$$

Находим коэффициент продольного изгиба методом линейной интерполяции, используя данные [8, таблица 5.1]: при $\lambda = 170$ $\varphi = 0,218$; при $\lambda = 180$ $\varphi = 0,196$.

$$\varphi_1' = 0,218 - \frac{0,218 - 0,196}{180 - 170} \cdot (170,5 - 170) = 0,217.$$

Сравниваем начальный и конечный коэффициенты продольного изгиба первого приближения: $\varphi_1' \neq \varphi_1$.

Второе приближение.

Определяем начальный коэффициент продольного изгиба

$$\varphi_2 = \frac{\varphi_1 + \varphi_1'}{2} = \frac{0,5 + 0,217}{2} = 0,36.$$

Из условия устойчивости вычисляем площадь поперечного сечения

$$A_2 = \frac{F}{\varphi_2 \cdot R \cdot \gamma_c} = \frac{400 \cdot 10^3}{0,36 \cdot 240 \cdot 10^6 \cdot 0,9} = 51,4 \cdot 10^{-4} \text{ м}^2.$$

По найденной площади определяем размеры квадратного поперечного сечения

$$a_2 = \sqrt{A_2} = \sqrt{51,4 \cdot 10^{-4}} = 0,072 \text{ м.}$$

Вычисляем минимальный радиус инерции этого поперечного сечения

$$i_{\min} = \frac{a_2^2}{3,46} = \frac{0,072^2}{3,46} = 0,0207 \text{ м.}$$

Определяем гибкость стержня найденного поперечного сечения

$$\lambda_2 = \frac{\mu \cdot \ell}{i_{\min}} = \frac{2 \cdot 1,5}{0,0207} = 144,9.$$

Находим коэффициент продольного изгиба методом линейной интерполяции, используя данные [8, таблица 5.1]: при $\lambda = 140$ $\varphi = 0,315$; при $\lambda = 150$ $\varphi = 0,276$.

$$\varphi'_2 = 0,315 - \frac{0,315 - 0,276}{150 - 140} \cdot (144,9 - 140) = 0,296.$$

Сравниваем начальный и конечный коэффициенты продольного изгиба второго приближения: $\varphi'_2 \neq \varphi_2$.

Третье приближение.

Определяем начальный коэффициент продольного изгиба

$$\varphi_3 = \frac{\varphi_2 + \varphi'_2}{2} = \frac{0,36 + 0,296}{2} = 0,328.$$

Из условия устойчивости вычисляем площадь поперечного сечения

$$A_3 = \frac{F}{\varphi_3 \cdot R \cdot \gamma_c} = \frac{400 \cdot 10^3}{0,328 \cdot 240 \cdot 10^6 \cdot 0,9} = 56,4 \cdot 10^{-4} \text{ м}^2.$$

По найденной площади определяем размеры квадратного поперечного сечения

$$a_3 = \sqrt{A_3} = \sqrt{56,4 \cdot 10^{-4}} = 0,075 \text{ м.}$$

Вычисляем минимальный радиус инерции этого поперечного сечения

$$i_{\min} = \frac{a_3^2}{3,46} = \frac{0,075^2}{3,46} = 0,0017 \text{ м.}$$

Определяем гибкость стержня найденного поперечного сечения

$$\lambda_3 = \frac{\mu \cdot \ell}{i_{\min}} = \frac{2 \cdot 1,5}{0,0217} = 138,25.$$

Находим коэффициент продольного изгиба методом линейной интерполяции, используя данные [8, таблица 5.1]: при $\lambda = 130$ $\varphi = 0,364$; при $\lambda = 140$ $\varphi = 0,315$.

$$\varphi'_3 = 0,364 - \frac{0,364 - 0,315}{140 - 130} \cdot (138,25 - 130) = 0,324.$$

Сравниваем начальный и конечный коэффициенты продольного изгиба третьего приближения: $\varphi'_3 \approx \varphi_3$.

Принимаем квадратное поперечное сечение стержня со стороной 75 мм.

Пример 3 (определение несущей способности) – Определить допустимое значение сжимающей силы $[F]$ стального стержня двутаврового поперечного сечения (рисунок 11.3), его критическую силу $F_{кр}$ и коэффициент запаса устойчивости n_y .

Исходные данные: коэффициент приведения длины $\mu = 0,5$; расчетное сопротивление $R = 200$ МПа; $\gamma_c = 0,8$; модуль упругости $E = 2 \cdot 10^5$ МПа.

Решение

Площадь и минимальный радиус инерции двутавра № 10 следующие: $A = 12 \text{ см}^2$; $i_y = i_{\min} = 1,22 \text{ см}$.

Максимальная гибкость стержня

$$\lambda_{\max} = \frac{\mu \cdot \ell}{i_{\min}} = \frac{0,5 \cdot 4}{1,22 \cdot 10^{-2}} = 163,9.$$

Определим коэффициент продольного изгиба φ методом линейной интерполяции, используя данные [8, таблица 5.1]: при $\lambda = 160$ $\varphi = 0,29$; при $\lambda = 170$ $\varphi = 0,259$.

$$\varphi = 0,29 - \frac{0,29 - 0,259}{170 - 160} \cdot (163,9 - 160) = 0,278.$$

Из условия устойчивости найдем допустимое значение сжимающей силы

$$[F] = A \cdot \varphi \cdot R \cdot \gamma_c = 12 \cdot 10^{-4} \cdot 0,278 \times \\ \times 200 \cdot 10^6 \cdot 0,8 = 53,4 \cdot 10^3 \text{ Н} = 53,4 \text{ кН}.$$

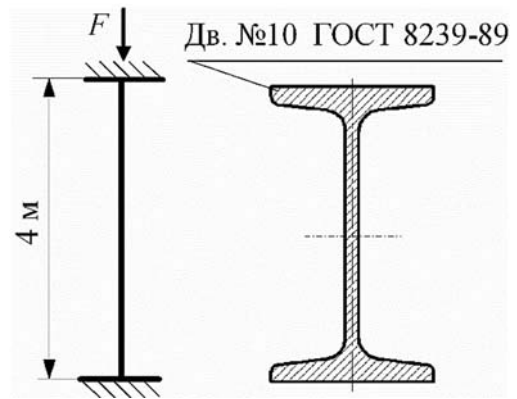


Рисунок 11.3

Критическую силу определяем по формуле Эйлера, т. к. гибкость стержня больше предельной гибкости для стали ($163,95 > 100$):

$$F_{кр} = \frac{\pi^2 \cdot E}{\lambda^2} \cdot A = \frac{3,14^2 \cdot 2 \cdot 10^{11}}{163,9^2} \cdot 12 \cdot 10^{-4} = 88,1 \cdot 10^3 \text{ Н} = 88,1 \text{ кН}.$$

Коэффициент запаса устойчивости найдем по формуле

$$n_y = \frac{F_{кр}}{[F]} = \frac{88,1}{53,4} = 1,65.$$

Тестовые вопросы и задачи для самопроверки

1 Условие устойчивости:

а) $\sigma = F/A \leq \varphi \cdot R \cdot \gamma_c$;

в) $\sigma = F/A \leq R \cdot \gamma_c$;

б) $\sigma = \varphi \cdot F/A \leq R \cdot \gamma_c$;

г) $\sigma = F/A \leq \varphi \cdot R \cdot \gamma_c$.

2 Формула Ясинского для стального стержня справедлива при:

а) $0 < \lambda \leq 40$;

в) $40 < \lambda \leq 100$;

б) $100 < \lambda \leq 140$;

г) $\lambda \geq 100$.

3 Формула Эйлера для стального стержня справедлива при:

а) $0 < \lambda \leq 40$;

в) $40 < \lambda \leq 100$;

б) $80 < \lambda \leq 140$;

г) $\lambda \geq 100$.

$$i_y = \sqrt{\frac{I_y}{2 \cdot A}} = \sqrt{\frac{1632,7}{2 \cdot 20,7}} = 6,28 \text{ см.}$$

Вычисляем гибкость относительно материальной оси x :

$$\lambda_{mat} = \lambda_x = \frac{\mu \cdot \ell}{i_x} = \frac{0,5 \cdot 6}{7,26 \cdot 10^{-2}} = 41,3.$$

Находим гибкость относительно свободной оси y :

$$\lambda_{св} = \lambda_y = \sqrt{40^2 + \left(\frac{\mu \cdot \ell}{i_y}\right)^2} = \sqrt{40^2 + \left(\frac{0,5 \cdot 6}{6,28 \cdot 10^{-2}}\right)^2} = 62,3.$$

Максимальная гибкость $\lambda_{max} = 62,3$.

Тестовые вопросы и задачи для самопроверки

1 Свободная ось составного сечения:

- а) не проходит через центр тяжести поперечного сечения;
- б) является главной центральной осью инерции;
- в) проходит через зазор между отдельными частями составного сечения;
- г) пересекает поперечное сечение по материалу составных частей.

2 Материальная ось составного сечения:

- а) не проходит через центр тяжести поперечного сечения;
- б) является главной центральной осью инерции;
- в) проходит через зазор между отдельными частями составного сечения;
- г) пересекает поперечное сечение по материалу составных частей.

3 Укажите свободные оси для поперечного сечения (рисунок 12.2):

- а) только x ;
- б) только y ;
- в) нет свободных осей;
- г) x и y .

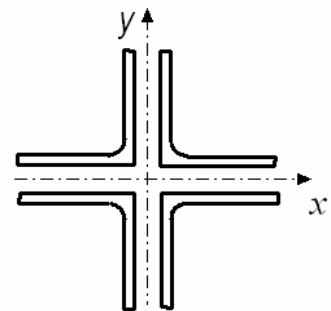


Рисунок 12.2

Список литературы

- 1 **Кривошапко, С. Н.** Сопротивление материалов: учебник и практикум для прикладного бакалавриата / С. Н. Кривошапко. – Москва: Юрайт, 2016. – 413 с.
- 2 **Муморцев, А. Н.** Сборник задач по сопротивлению материалов: учебное пособие / А. Н. Муморцев, Е. А. Фролов. – Москва: ФОРУМ; ИНФРА-М, 2015. – 112 с. : ил.
- 3 Сопротивление материалов. Практикум: учебно-методическое пособие / С. И. Зиневич [и др.]. – Минск: Новое знание; Москва: ИНФРА-М, 2015. – 316 с.: ил.
- 4 **Скопинский, В. Н.** Практическое руководство к расчетам по сопротивлению материалов: учебное пособие / В. Н. Скопинский. – Москва: МГИУ, 2007. – 240 с.
- 5 **Писаренко, Г. С.** Справочник по сопротивлению материалов / Г. С. Писаренко, Ф. П. Яковлев, В. В. Матвеев. – 5-е изд., перераб. и доп. – Киев: Дельта, 2008. – 816 с.
- 6 **Подскребко, М. Д.** Сопротивление материалов: учебник для вузов / М. Д. Подскребко. – Минск: Вышэйшая школа, 2007. – 797 с.
- 7 **Старовойтов, Э. И.** Сопротивление материалов: учебник для вузов / Э. И. Старовойтов. – Москва: ФИЗМАТЛИТ, 2008. – 384 с.
- 8 Сопротивление материалов. Сопротивление материалов и теория упругости: методические рекомендации к самостоятельной работе для студентов специальностей 1-70 02 01 «Промышленное и гражданское строительство» и 1-70 03 01 «Автомобильные дороги» / Сост. А. А. Катькало, И. А. Леонович. – Могилев: Беларус.-Рос. ун-т, 2015. – 48 с.